



ФГБУ «Арктический и антарктический научно-исследовательский институт»  
МЦД МЛ

Информационные материалы по мониторингу морского ледяного покрова Арктики и Южного Океана на основе данных ледового картирования и пассивного микроволнового зондирования SSMR-SSM/I-SSMIS-AMSR<sub>2</sub>

21.10.2019 - 29.10.2019

№ 43 (425)

Санкт-Петербург 2019

тел. +7(812)337-3149, эл.почта: [vms@aari.aq](mailto:vms@aari.aq)

Адрес в сети Интернет: <http://wdc.aari.ru/datasets/doo42/>

## Содержание

<b>Северное Полушарие</b> .....	4
Рисунок 1а – Ледовая карта СЛО и повторяемость кромки за текущую неделю (цветовая окраска по общей сплоченности) .....	4
Рисунок 1б – Ледовая карта СЛО и повторяемость кромки за текущую неделю (цветовая окраска по преобладающему возрасту) .....	5
Рисунок 1в – Положение кромки льда и зон разреженных и сплоченных льдов СЛО за последний доступный срок на основе ледового анализа НЛЦ США .....	6
Рисунок 2а – Обзорная ледовая карта СЛО за текущую неделю и аналогичные периоды 2007-2017.7	
Рисунок 2б – Поля распределения средневзвешенной толщины льда совместной модели морского льда – океана HYCOM/CICE Датского метеорологического института.....	8
Рисунок 2в – Поля распределения средней за 36-часовые промежутки температуры поверхности морского льда и океана Датского метеорологического института.....	9
Рисунок 2г – Поле дрейфа морского льда Арктики низкого разрешения EUMETSAT OSI-SAF.....	10
Рисунок 2д – Ежедневные оценки сезонного хода объема морского льда СЛО на основе расчетов средневзвешенной толщины льда совместной модели морского льда – океана HYCOM/CICE Датского метеорологического института.....	11
Рисунок 2е – Аномалии приземной температуры воздуха (2м) и осредненные вектора скорости ветра (10 м) (polarportal.dk).....	12
Таблица 1 – Динамика изменения значений ледовитости для акваторий Северной полярной области за текущую неделю по данным наблюдений SSMR-SSM/I-SSMIS .....	13
Таблица 2 – Медианные значения ледовитости для Северной полярной области и 3-х меридиональных секторов за текущие 30 и 7-дневные интервалы и её аномалии от 2011-2016 гг. и интервалов 2006-2017 гг. и 1978-2017 гг. по данным наблюдений SSMR-SSM/I-SSMIS .....	13
Таблица 3 – Экстремальные и средние значения ледовитости для Северной полярной области и 3 меридиональных секторов за текущий 7-дневный интервал по данным наблюдений SSMR-SSM/I-SSMIS, алгоритм NASATEAM.....	14
Рисунок 3а – Ежедневные оценки сезонного хода ледовитости для Северной Полярной Области и её трех меридиональных секторов за период с 26.10.1978 по текущий момент времени по годам. ...	16
Рисунок 3б – Ежедневные оценки сезонных изменений ледовитости для Северной Полярной Области с 26.10.1978 по текущий момент времени .....	17
Рисунок 4 – Медианные распределения сплоченности льда за текущие 7 дневные промежутки (слева) и её разности относительно медианного распределения за те же промежутки за периоды 1979-2019 (центр) и 2009-2019 гг. (справа) на основе расчетов по данным SSMR-SSM/I-SSMIS, алгоритмы NASATEAM.....	18
<b>Южный океан</b> .....	19
Рисунок 5 а,б – Ледовая карта Южного Океана за последний доступный срок (окраска по общей сплоченности и преобладающему возрасту).....	19,20
Рисунок 5в – Положение кромки льда и зон разреженных и сплоченных льдов Южного Океана за последний доступный срок на основе ледового анализа НЛЦ США. ....	21
Рисунок 5д – Анализ ААНИИ крупных айсбергов Южного океана .....	22
Таблица 4 – Параметры крупных айсбергов Южного океана на основе анализа ААНИИ .....	23
Рисунок 7а – Ежедневные оценки сезонного хода ледовитости Южного Океана и его трёх меридиональных секторов за период с 26.10.1978 по текущий момент времени по годам .....	24
Рисунок 7б – Ежедневные оценки сезонного хода ледовитости Южного Океана и его трёх меридиональных секторов за период с 26.10.1978 по текущий момент времени. ....	25
Рисунок 8 – Медианные распределения общей сплоченности льда за текущие 7 дневные промежутки (слева) и её разности относительно медианного распределения за тот же промежуток за периоды 1978-2019 (центр) и 2009-2019 гг. (справа) на основе расчетов по данным SSMR-SSM/I-SSMIS, алгоритм NASATEAM.....	26
Таблица 5 – Динамика изменения значений ледовитости для акваторий Южного океана за текущий 7-дневный интервал по данным наблюдений SSMR-SSM/I-SSMIS .....	27
Таблица 6 – Медианные значения ледовитости для Южного океана и 3 меридиональных секторов за текущие 30 и 7-дневные интервалы и её аномалии от 2011-2016 гг. и интервалов 2007-2017 гг. и 1978-2017 гг. по данным наблюдений SSMR-SSM/I-SSMIS, алгоритм NASATEAM .....	27

Таблица 7 – Экстремальные и средние значения ледовитости для Южного океана и 3 меридиональных секторов за текущий 7-дневный интервал по данным наблюдений SSMR-SSM/I-SSMIS, алгоритм NASATEAM.....	27
<b>Земля в целом</b>	
Рисунок 9 – Ежедневные сглаженные окном 365 суток значения ледовитости Арктики, Антарктики и Земли в целом с 26.10.1978 на основе SSMR-SSM/I-SSMIS .....	28
Рисунок 10 – Ежедневные сглаженные окном 365 суток значения приведенной ледовитости Арктики, Антарктики и Земли в целом с 26.10.1978 на основе SSMR-SSM/I-SSMIS .....	29
Рисунок 11 – Ежедневные сглаженные окном 365 суток значения общей сплоченности Арктики и Антарктики с 26.10.1978 на основе SSMR-SSM/I-SSMIS .....	30
Приложение 1 – Статистические значения ледовитостей по отдельным акваториям Северной Полярной Области и Южного океана .....	31
Таблица 8 – Средние, аномалии среднего и экстремальные значения ледовитостей для Северной полярной области и её отдельных акваторий за текущие 7-дневный (неделя) и 30-дневный промежутки времени по данным наблюдений SSMR-SSM/I-SSMIS, алгоритм NASATEAM за период 1978-2017 гг.....	31
Таблица 9 – Средние, аномалии среднего и экстремальные значения ледовитостей для Южного океана и его отдельных акваторий за текущие 7-дневный и 30-дневный промежутки времени по данным наблюдений SSMR-SSM/I-SSMIS, алгоритм NASATEAM за период 1978-2017 .....	33
Таблица 10 – Динамика изменения значений ледовитости по сравнению с предыдущей неделей для морей Северной полярной области и Южного океана за текущий 7-дневный (неделя) промежуток времени по данным наблюдений SSMIS .....	35
Характеристика исходного материала и методика расчетов .....	36
Список источников .....	41

# Северное Полушарие

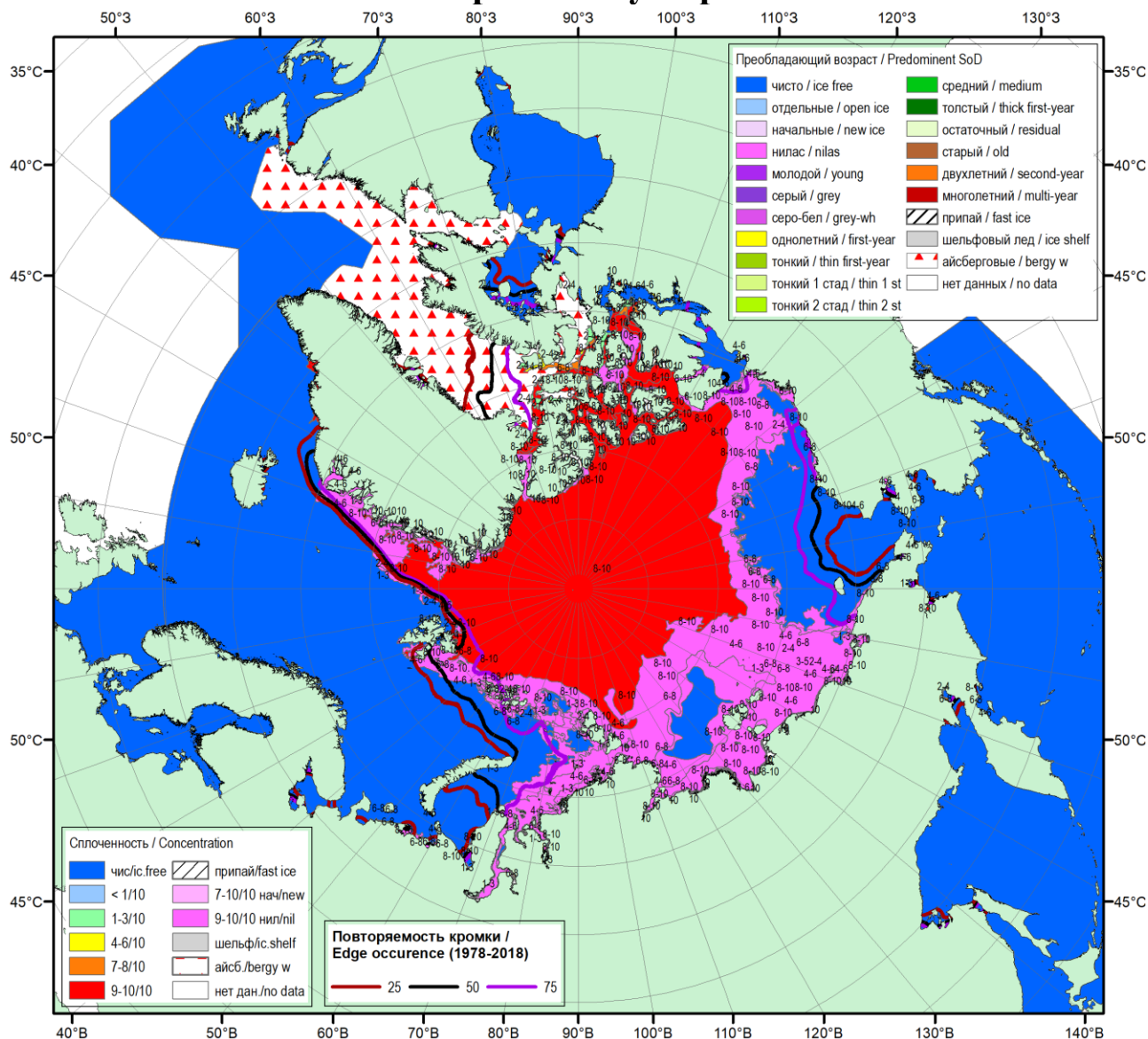


Рисунок 1а – Обзорная ледовая карта СЛЮ за 25.10.2019-29.10.2019 г. (цветовая раскраска по общей сплоченности) на основе ледового анализа ААНИИ (29.10), Национального ледового центра США (25.10) и повторяемость кромки за 26-31.10 за период 1979-2018 гг. по наблюдениям SSMR-SSM/I-SSMIS (алгоритм NASATEAM).

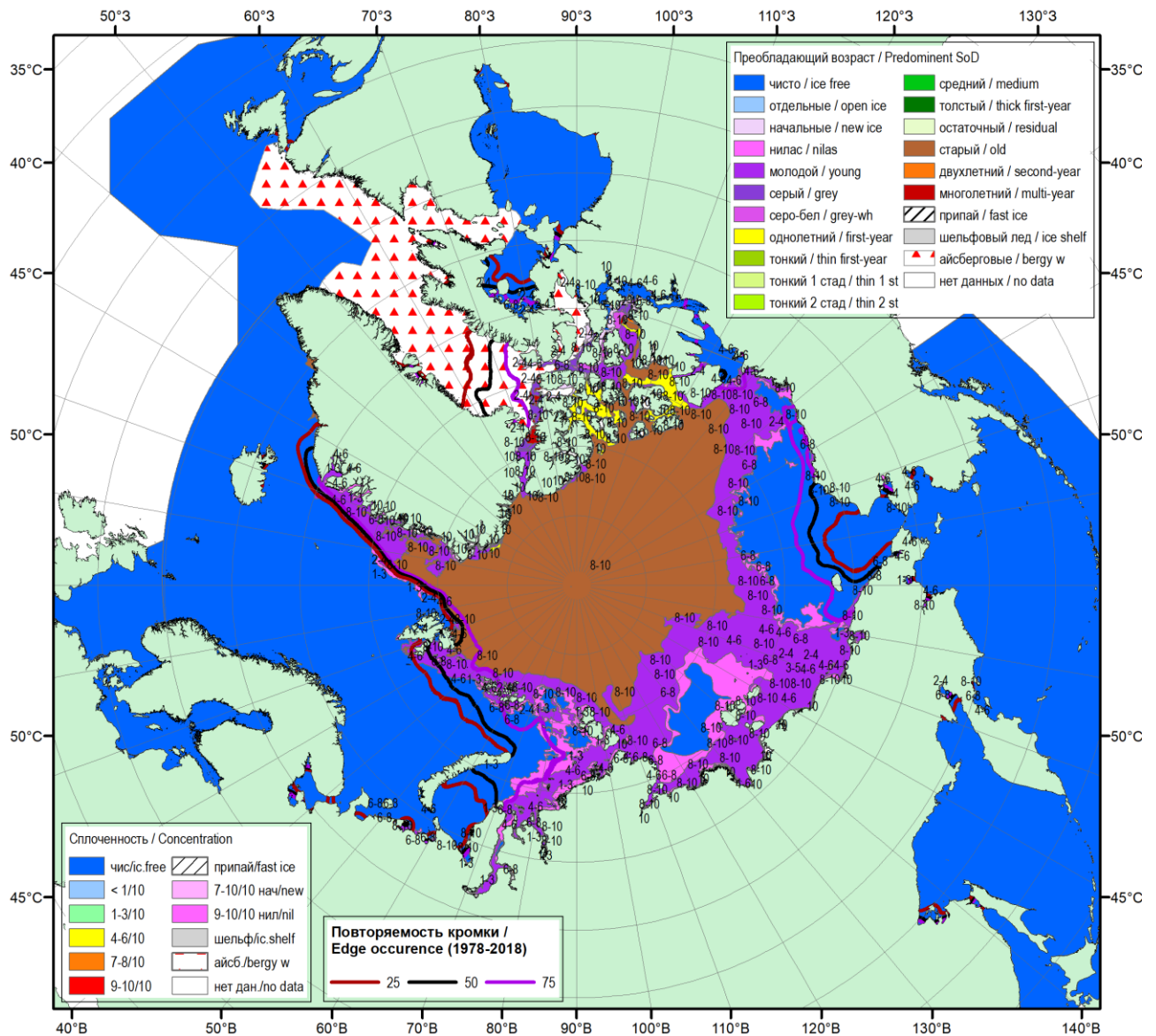


Рисунок 1б – Обзорная ледовая карта СЛО за 25.10.2019-29.10.2019 г. (цветовая раскраска по преобладающему возрасту) на основе ледового анализа ААНИИ (29.10), Национального ледового центра США (25.10) и повторяемость кромки за 26-31.10 за период 1979-2018 гг. по наблюдениям SSMR-SSM/I-SSMIS (алгоритм NASATEAM).

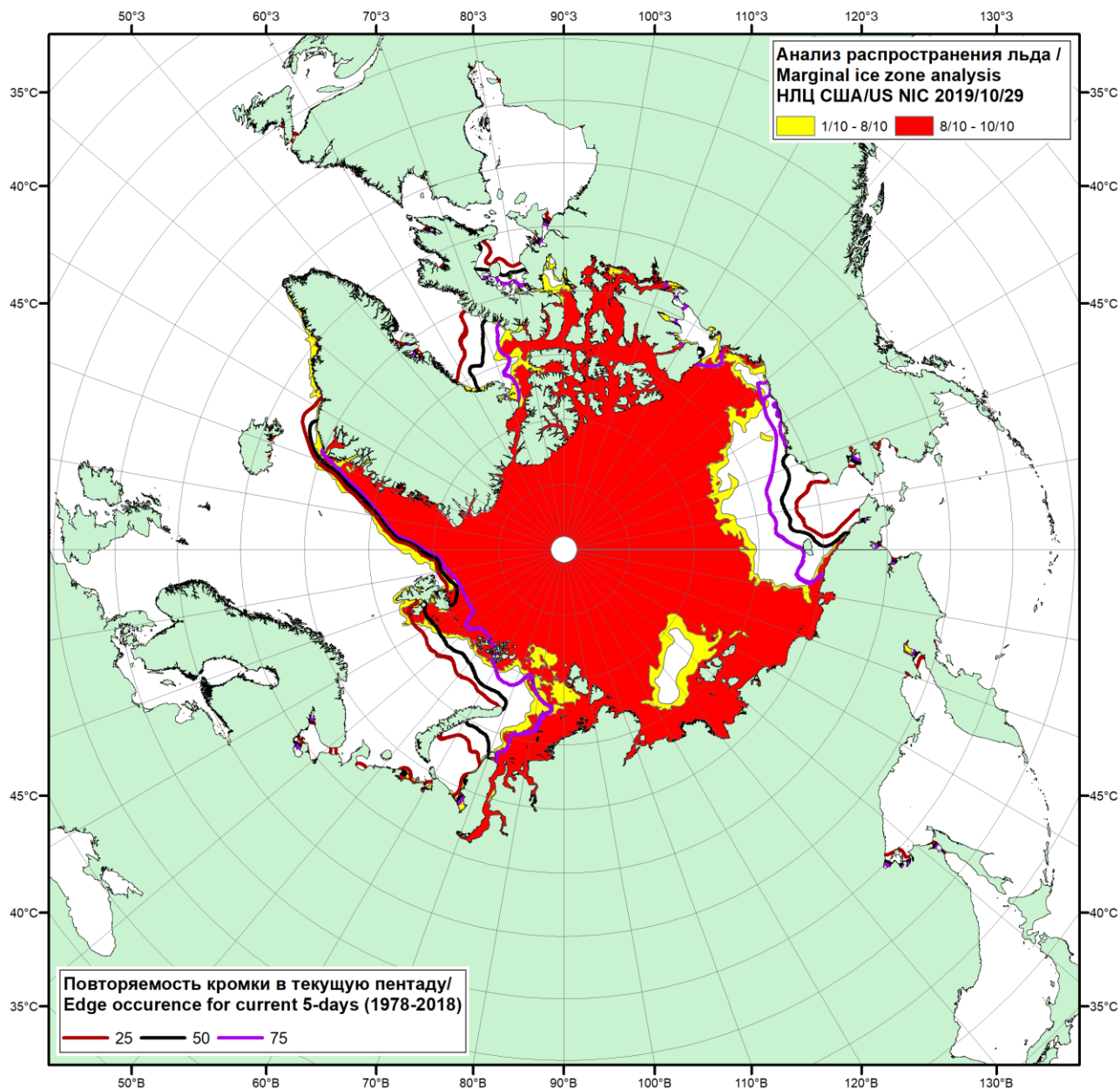


Рисунок 1в – Положение кромки льда и зон разреженных ( $<8/10$ ) и сплоченных ( $\geq 8/10$ ) льдов СЛО за 29.10.2019 г. на основе ледового анализа Национального Ледового Центра США и повторяемость кромки за 26-31.10 за период 1979-2018 гг. по наблюдениям SSMR-SSM/I-SSMIS (алгоритм NASATEAM)

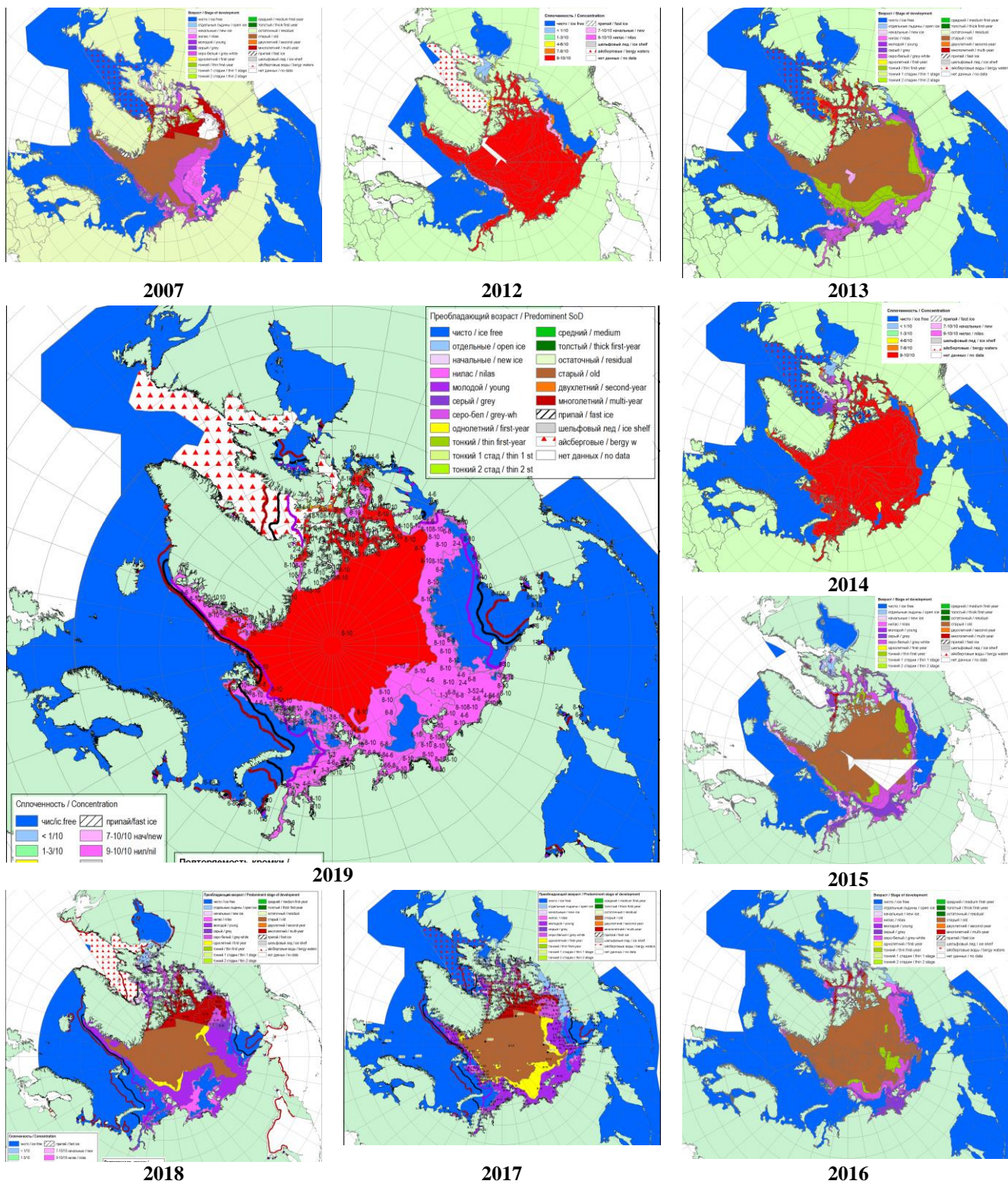


Рисунок 2а – Обзорная ледовая карта СЮ за 25.10 – 29.10.2019 г. и аналогичные периоды 2007-2018 гг. на основе ледового анализа ААНИИ, НИЦ Планета, Канадской ледовой службы и Национального ледового центра США.

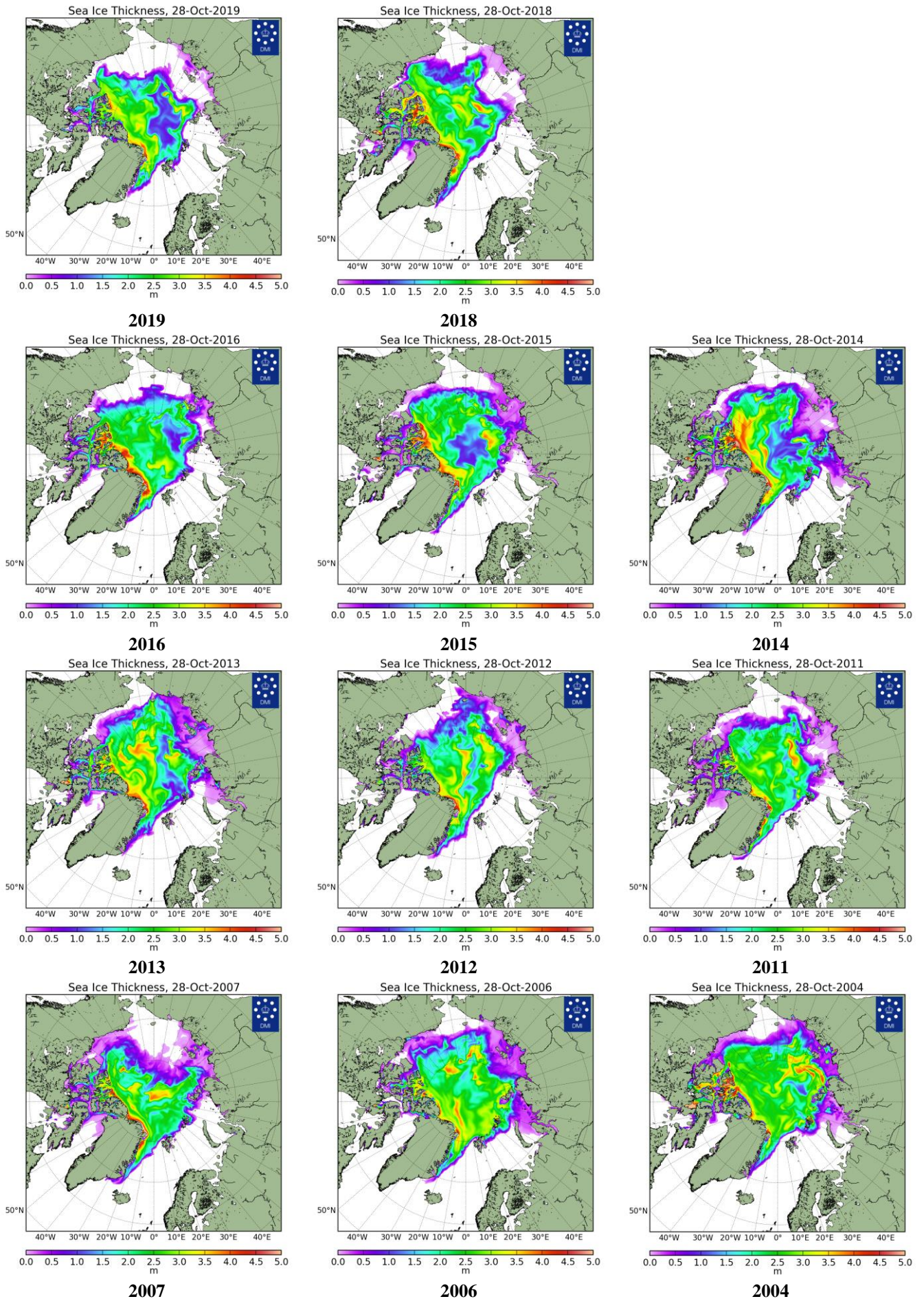


Рисунок 26 – Поля распределения средневзвешенной толщины льда совместной модели морского льда – океана NUCOM/CICE Датского метеорологического института 28.10 2004...2019 гг.



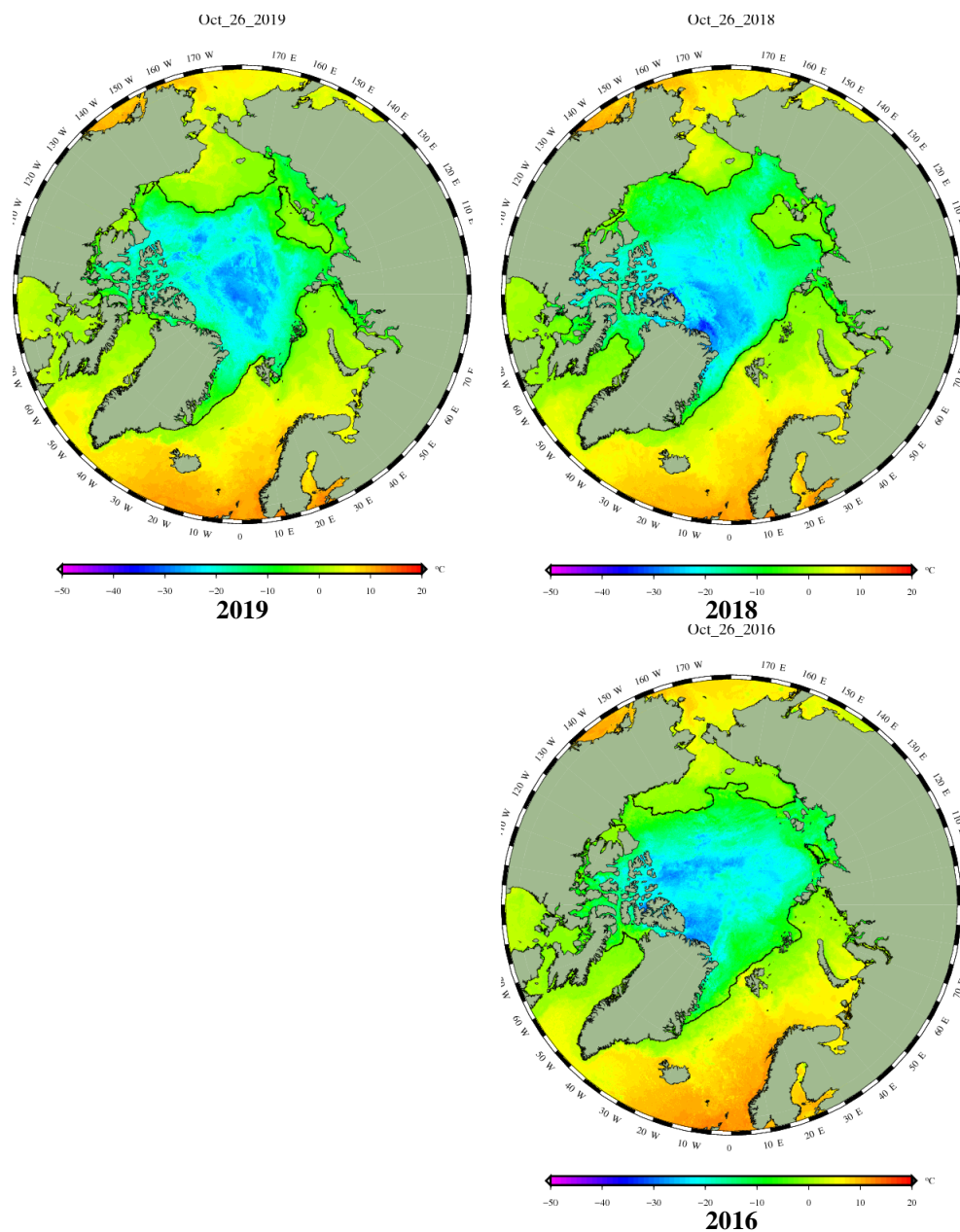
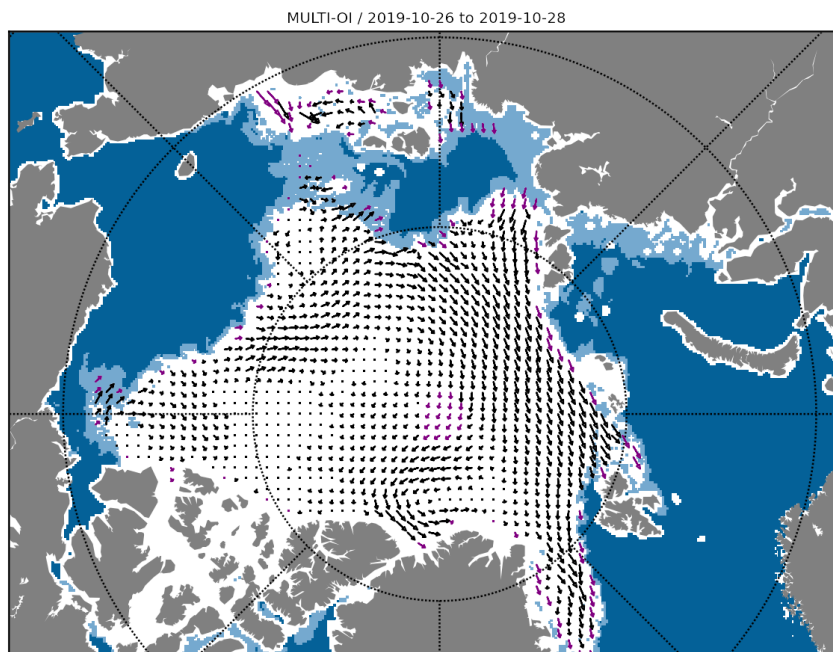
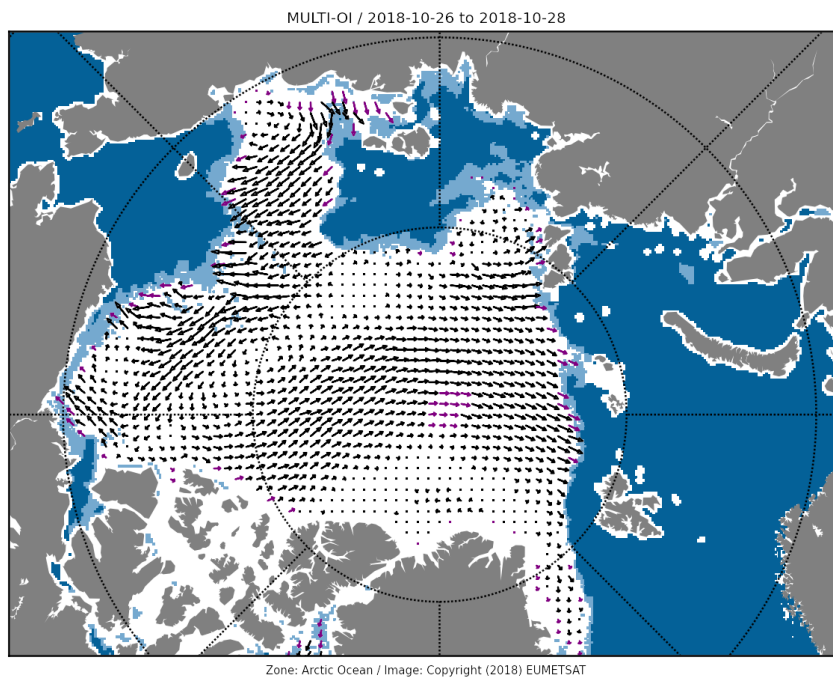


Рисунок 2в – Поля распределения средней за 36-часовые промежутки температуры поверхности морского льда и океана Датского метеорологического института на основе статистической обработки ИК-каналов AVHRR ИСЗ MetOp-A за 24.10-26.10 2016-2019 гг. (<http://polarportal.dk/en/sea-ice-and-icebergs/sea-ice-temperature/#c8099>)



2019



2018

Рисунок 2г – Поле дрейфа морского льда Арктики низкого разрешения EUMETSAT OSI-SAF (low resolution sea ice drift product of the EUMETSAT Ocean and Sea Ice Satellite Application Facility - OSI SAF, [www.osi-saf.org](http://www.osi-saf.org)) за 26.10-28.10.2018-2019 гг. на основе данных SSMIS (91 GHz H&V pol.) DMSP F17, ASCAT (C-band backscatter) ИСЗ Metop-A и AMSR-2 ИСЗ GCOM-W.

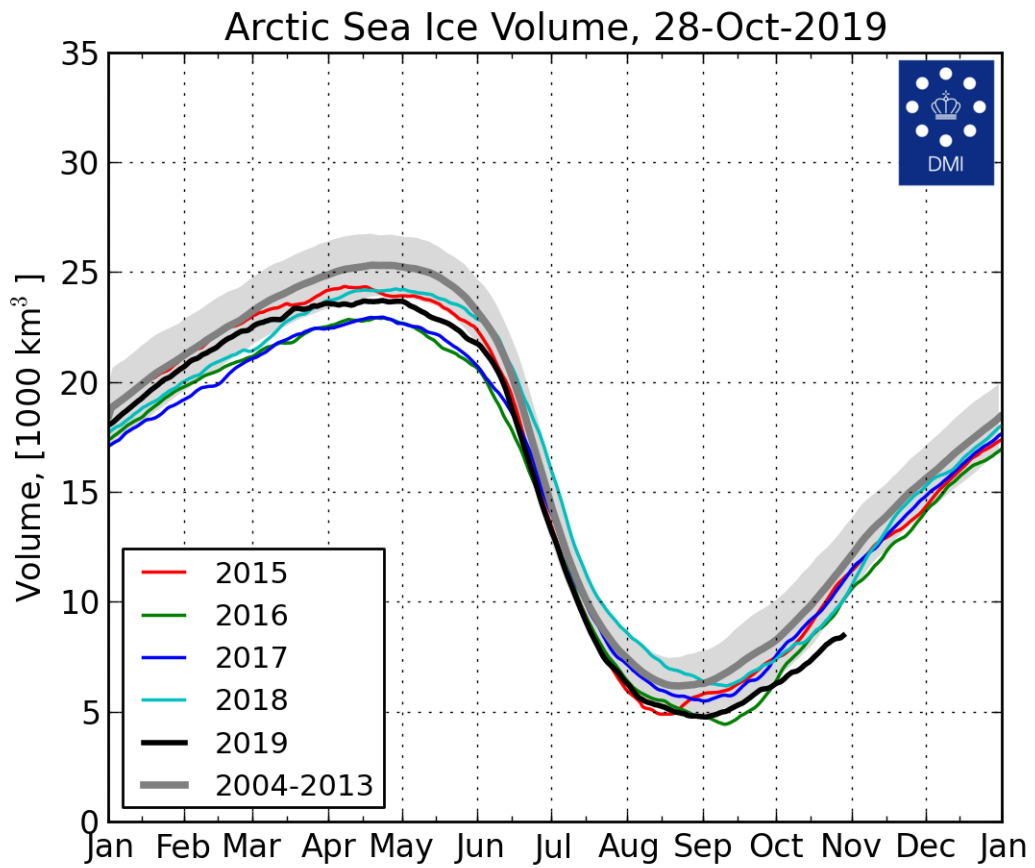
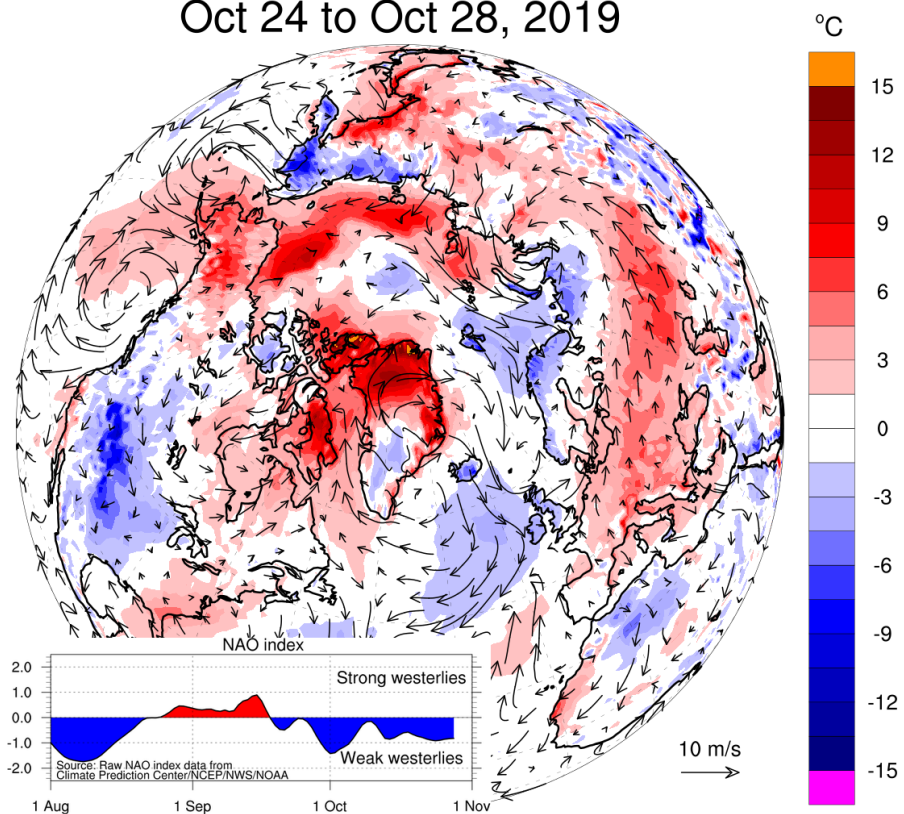


Рисунок 2д – Ежедневные оценки сезонного хода объема морского льда СЛО на основе расчетов средневзвешенной толщины льда совместной модели морского льда – океана HYCOM/CICE Датского метеорологического института с 01.01.2004 по 28.10.2019 гг.

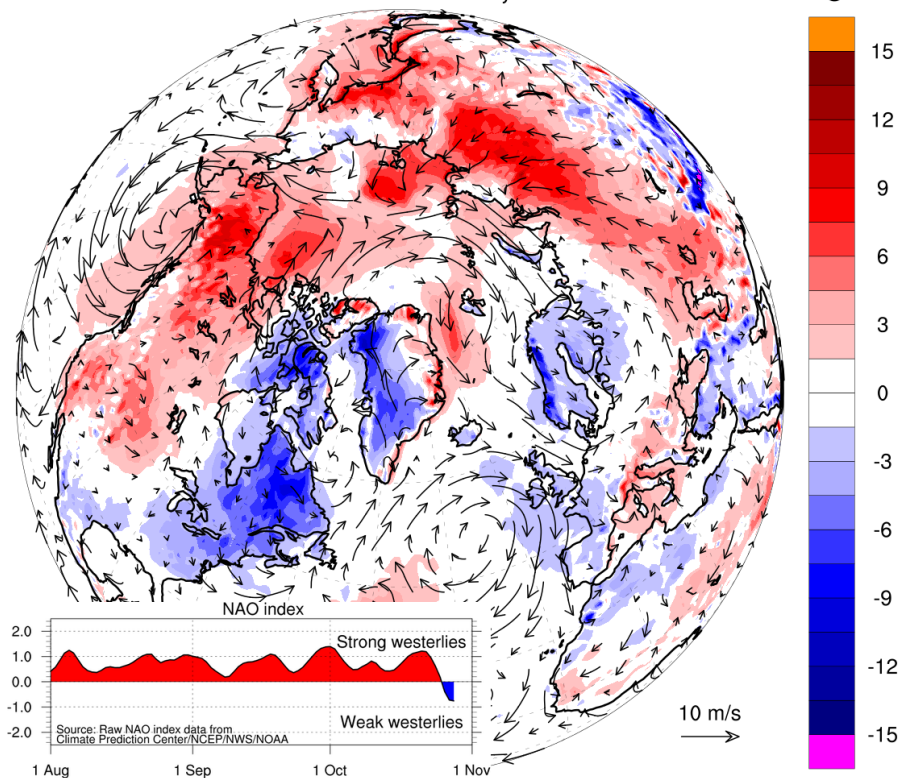
Oct 24 to Oct 28, 2019



ECMWF forecast: 2-m temperature and 10-m wind  
T2m anomaly relative to ERA-Interim 2004-2013

polarportal.org

Oct 24 to Oct 28, 2018



ECMWF forecast: 2-m temperature and 10-m wind  
T2m anomaly relative to ERA-Interim 2004-2013

polarportal.org

Рисунок 2е – Аномалии приземной температуры воздуха (2м) и осредненные вектора скорости ветра (10 м) за 24.10-28.10 2018-2019 гг. относительно периода 2004-2013 гг. (<http://polarportal.dk>)

Таблица 1 – Динамика изменения значений ледовитости по сравнению с предыдущей неделей для морей Северной полярной области за 21.10–27.10.2019 г. по данным наблюдений SSMR-SSM/I-SMIS

Регион	Северная полярная область	Сектор 45°W-95°E (Гренландское - Карское моря)	Сектор 95°E-170°W (моря Лаптевых - Чукотское, Берингово, Охотское)	Сектор 170°W-45°W (море Бофорта и Канадская Арктика)	Северный Ледовитый океан	Моря СМП (моря Карское-Чукотское)
Разность	873.0	177.3	561.1	134.6	852.9	529.0
тыс.кв.км/сут.	124.7	25.3	80.2	19.2	121.8	75.6

Таблица 2 - Медианные значения ледовитости для Северной полярной области, 3-х меридиональных секторов и моря СМП за текущие 30 и 7-дневные интервалы и её аномалии от 2012-2016 гг. и интервалов 2007-2017 гг. и 1978-2017 гг. по данным наблюдений SSMR-SSM/I-SSMIS, алгоритмы NASATEAM

Северная полярная область								
Месяц	S, тыс. км2	Аномалии, тыс км2/%						
		2014 г	2015 г	2016 г	2017 г	2018 г	2009-2019гг	1978-2019гг
28.09-27.10	5330.9	-1459.9	-1210.9	-427.0	-1056.2	-394.8	-867.8	-2343.8
		-21.5	-18.5	-7.4	-16.5	-6.9	-14.0	-30.5
21-27.10	6294.8	-1939.9	-1670.2	-400.3	-1327.1	-668.7	-1152.1	-2467.3
		-23.6	-21.0	-6.0	-17.4	-9.6	-15.5	-28.2
Сектор 45°W-95°E (Гренландское - Карское моря)								
Месяц	S, тыс. км2	Аномалии, тыс км2/%						
		2014 г	2015 г	2016 г	2017 г	2018 г	2009-2019гг	1978-2019гг
28.09-27.10	1407.5	-506.6	-53.8	70.2	41.8	206.2	-28.5	-446.0
		-26.5	-3.7	5.3	3.1	17.2	-2.0	-24.1
21-27.10	1640.4	-697.2	-64.1	206.9	26.8	342.8	-17.5	-516.2
		-29.8	-3.8	14.4	1.7	26.4	-1.1	-23.9
Сектор 95°E-170°W (моря Лаптевых - Чукотское, Берингово, Охотское)								
Месяц	S, тыс. км2	Аномалии, тыс км2/%						
		2014 г	2015 г	2016 г	2017 г	2018 г	2009-2019гг	1978-2019гг
28.09-27.10	1451.9	-432.5	-741.9	-471.3	-858.6	-35.3	-560.2	-1196.7
		-23.0	-33.8	-24.5	-37.2	-2.4	-27.8	-45.2
21-27.10	2011.9	-596.7	-816.9	-386.3	-867.2	-51.9	-643.3	-1057.2
		-22.9	-28.9	-16.1	-30.1	-2.5	-24.2	-34.4
Сектор 170°W-45°W (море Бофорта и Канадская Арктика)								
Месяц	S, тыс. км2	Аномалии, тыс км2/%						
		2014 г	2015 г	2016 г	2017 г	2018 г	2009-2019гг	1978-2019гг
28.09-27.10	2471.5	-520.7	-415.2	-25.9	-239.3	-565.7	-279.1	-701.1
		-17.4	-14.4	-1.0	-8.8	-18.6	-10.1	-22.1
21-27.10	2642.4	-645.9	-789.2	-221.0	-486.8	-959.7	-491.3	-893.9
		-19.6	-23.0	-7.7	-15.6	-26.6	-15.7	-25.3
Северный Ледовитый океан								
Месяц	S, тыс. км2	Аномалии, тыс км2/%						
		2014 г	2015 г	2016 г	2017 г	2018 г	2009-2019гг	1978-2019гг
28.09-27.10	5213.8	-1474.4	-1197.7	-423.1	-1062.6	-388.3	-866.9	-2304.7
		-22.0	-18.7	-7.5	-16.9	-6.9	-14.3	-30.7
21-27.10	6172.5	-1962.1	-1653.9	-393.2	-1326.8	-675.6	-1153.4	-2412.3
		-24.1	-21.1	-6.0	-17.7	-9.9	-15.7	-28.1
Моря СМП (моря Карское-Чукотское)								
Месяц	S, тыс. км2	Аномалии, тыс км2/%						
		2014 г	2015 г	2016 г	2017 г	2018 г	2009-2019гг	1978-2019гг
28.09-27.10	312.2	-569.4	-586.2	-226.3	-743.1	-64.1	-477.6	-1282.0
		-64.6	-65.2	-42.0	-70.4	-17.0	-60.5	-80.4
21-27.10	815.8	-1011.5	-846.1	-176.0	-902.2	-52.5	-668.9	-1335.0
		-55.4	-50.9	-17.7	-52.5	-6.0	-45.1	-62.1

Таблица 3 – Экстремальные и средние значения ледовитости для Северной полярной области, 3 меридиональных секторов и моря СМП за текущий 7-дневный интервал по данным наблюдений SSMR-SSM/I-SSMIS, алгоритмы NASATEAM

Северная полярная область

Месяц	Минимальное знач.	Максимальное знач.	Среднее знач.	Медиана
21-27.10	5790.7 21.10.2019	10493.1 27.10.1982	8762.0	9035.6

Сектор 45°W-95°E (Гренландское - Карское моря)

Месяц	Минимальное знач.	Максимальное знач.	Среднее знач.	Медиана
21-27.10	1222.7 23.10.2018	2958.5 27.10.1982	2156.6	2269.4

Сектор 95°E-170°W (моря Лаптевых - Чукотское, Берингово, Охотское)

Месяц	Минимальное знач.	Максимальное знач.	Среднее знач.	Медиана
21-27.10	1678.8 21.10.2018	3476.3 21.10.1994	3069.1	3234.8

Сектор 170°W-45°W (море Бофорта и Канадская Арктика)

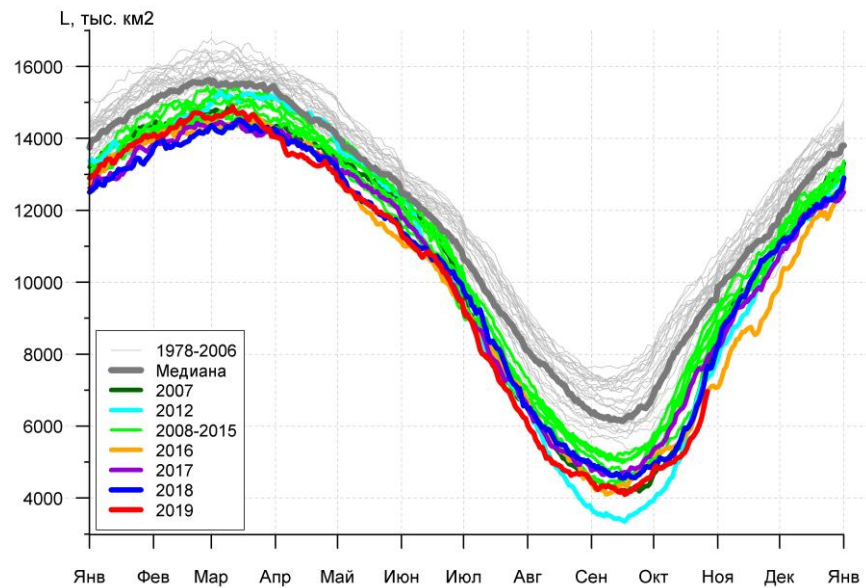
Месяц	Минимальное знач.	Максимальное знач.	Среднее знач.	Медиана
21-27.10	2554.3 21.10.2019	4396.9 27.10.1986	3536.3	3570.6

Северный Ледовитый океан

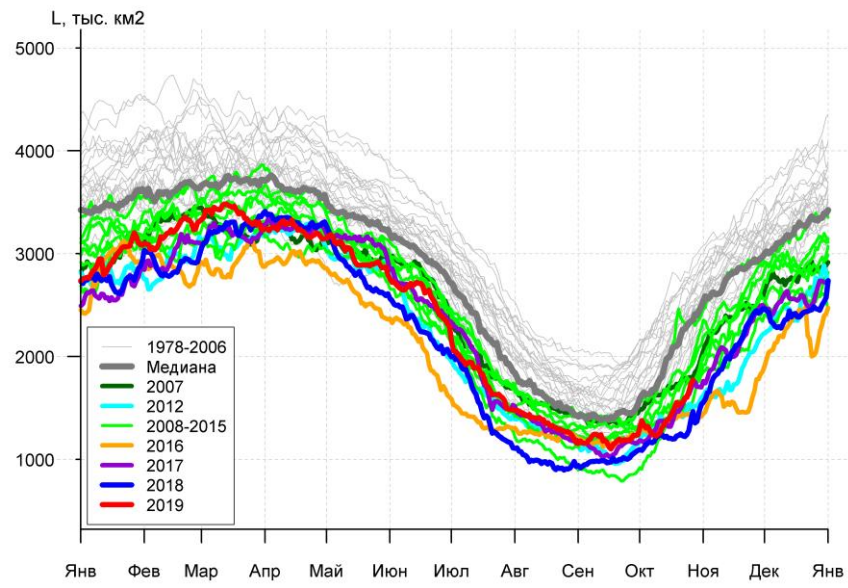
Месяц	Минимальное знач.	Максимальное знач.	Среднее знач.	Медиана
21-27.10	5683.2 21.10.2019	10154.3 27.10.1982	8584.8	8854.0

Моря СМП (моря Карское-Чукотское)

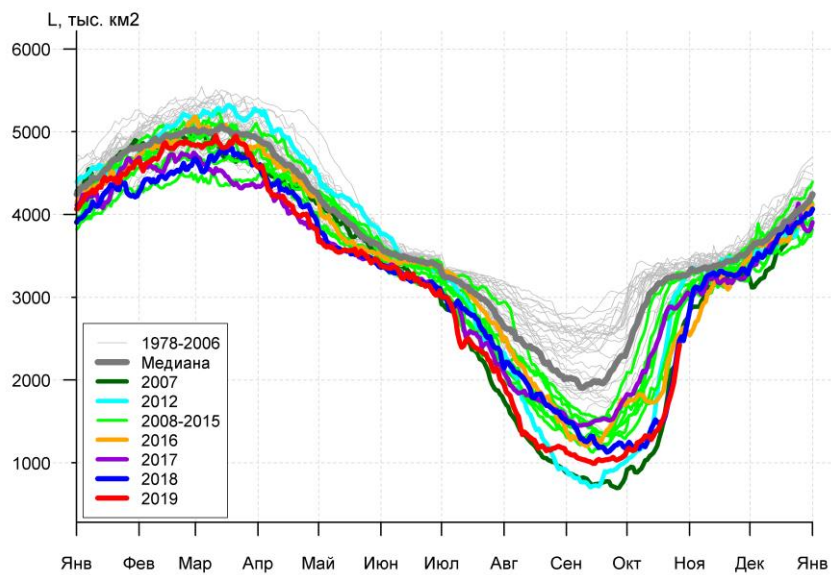
Месяц	Минимальное знач.	Максимальное знач.	Среднее знач.	Медиана
21-27.10	494.3 21.10.2018	2772.9 27.10.1982	2150.8	2387.5



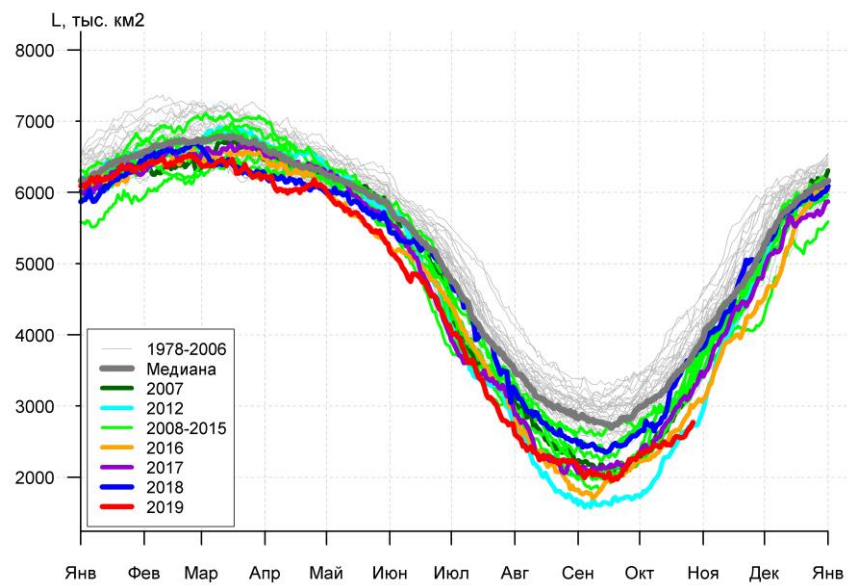
а)



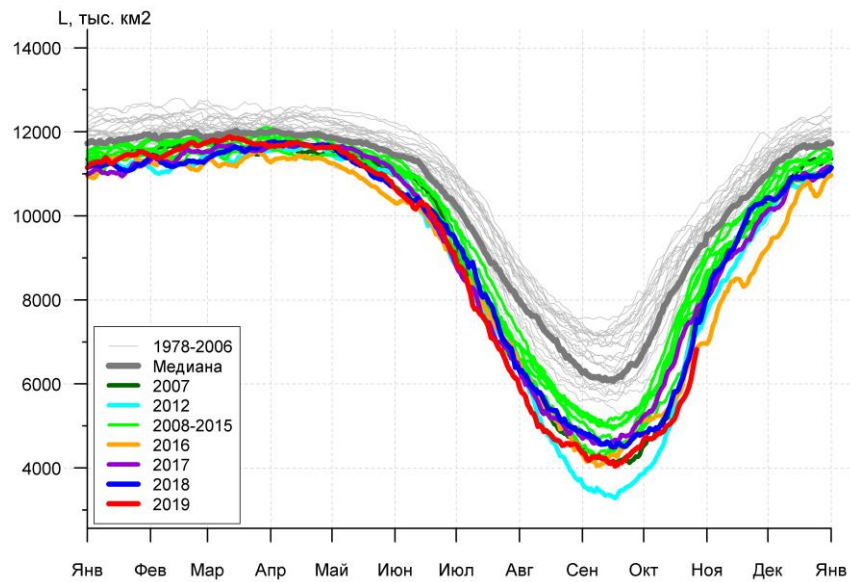
б)



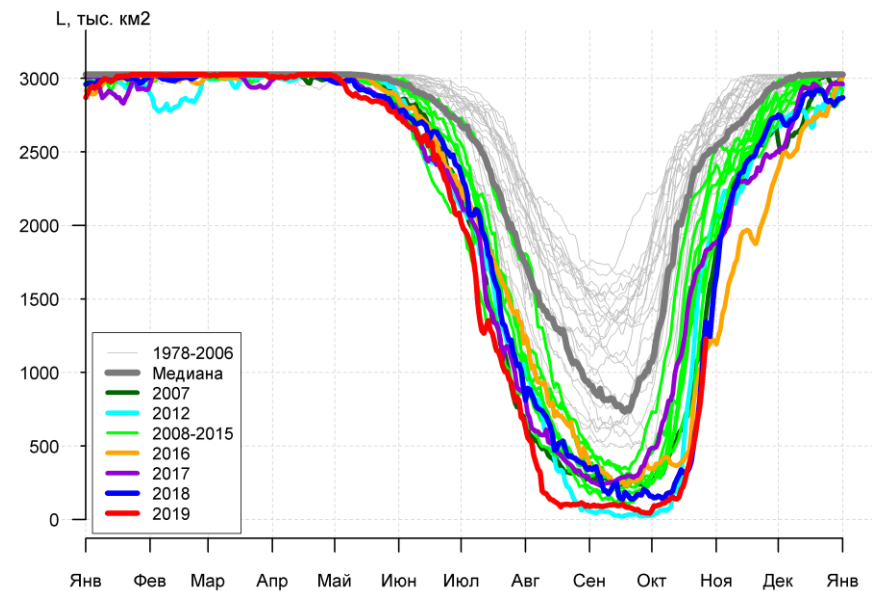
в)



г)



д)



е)

Рисунок 3а – Ежедневные оценки сезонного хода ледовитости для Северной Полярной Области и трех меридиональных секторов за период 26.10.1978 - 27.10.2019 по годам на основе расчетов по данным SSMR-SSM/I-SSMIS, алгоритмы NASATEAM: а) Северная полярная область, б) сектор 45°W-95°E (Гренландское – Карское моря), в) сектор 95°E-170°W (моря Лаптевых – Чукотское и Берингово, Охотское), г) сектор 170°W-45°W (море Бофорта и Канадская Арктика), д) Северный Ледовитый океан, е) Северный морской путь (Карское - Чукотское моря).



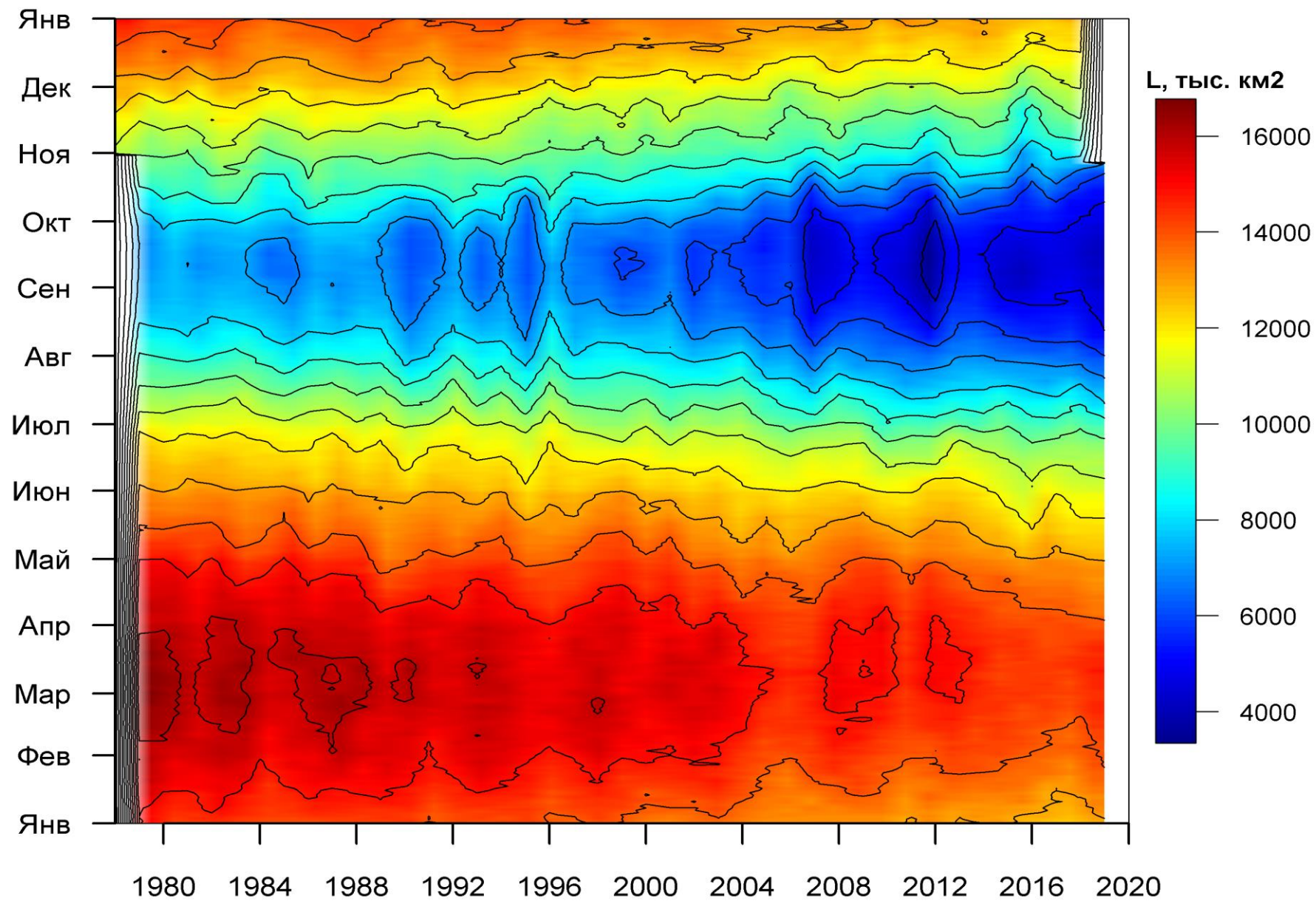


Рисунок 3б – Ежедневные оценки сезонных изменений ледовитости для Северной Полярной Области за период 26.10.1978 -27.10.2019 на основе расчетов по данным SSMR-SSM/I-SSMIS, алгоритм NASATEAM.

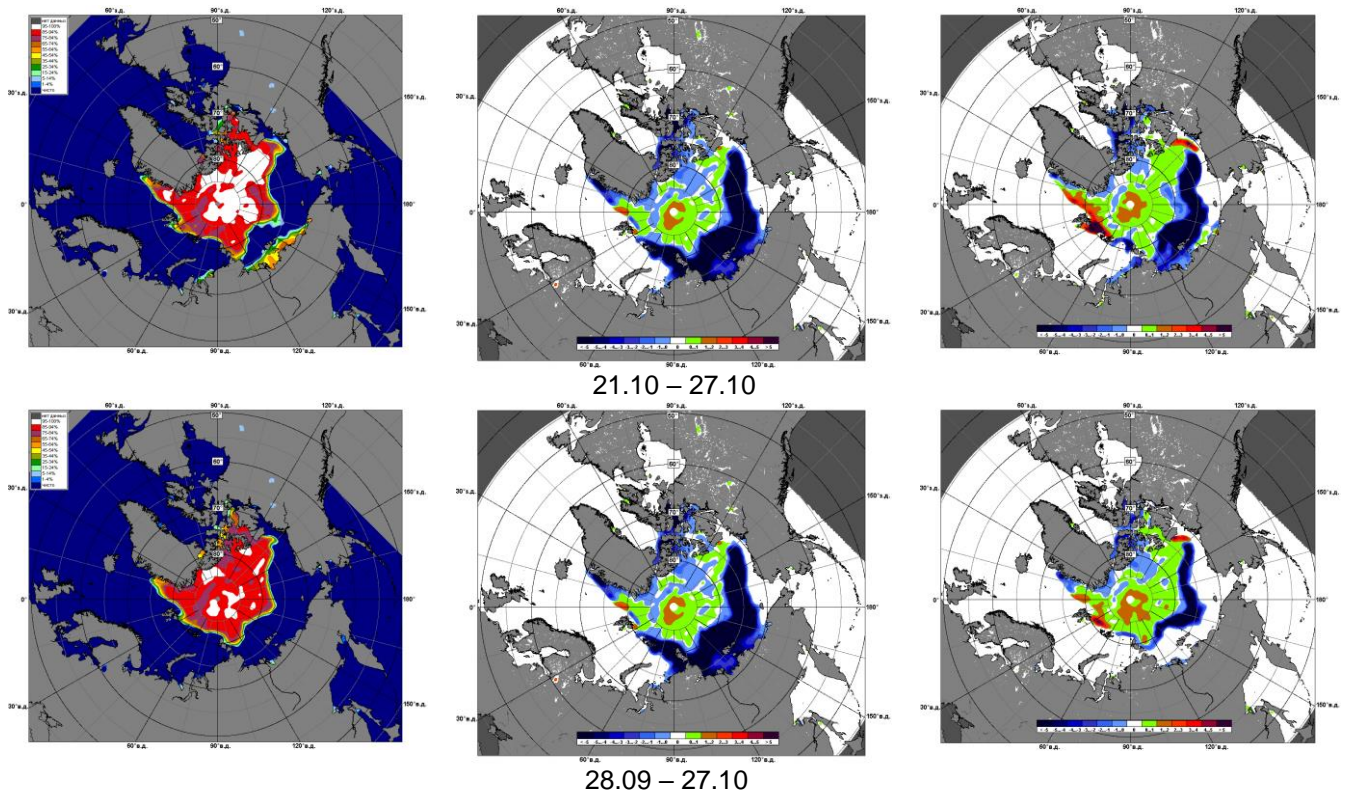


Рисунок 4 – Медианные распределения сплоченности льда за текущие 7 дневные промежутки и её разности относительно медианного распределения за те же промежутки за периоды 1979-2019 (центр) и 2009-2019 гг. (справа) на основе расчетов по данным SSMR-SSM/I-SSMIS, алгоритмы NASATEAM.

# Южный океан

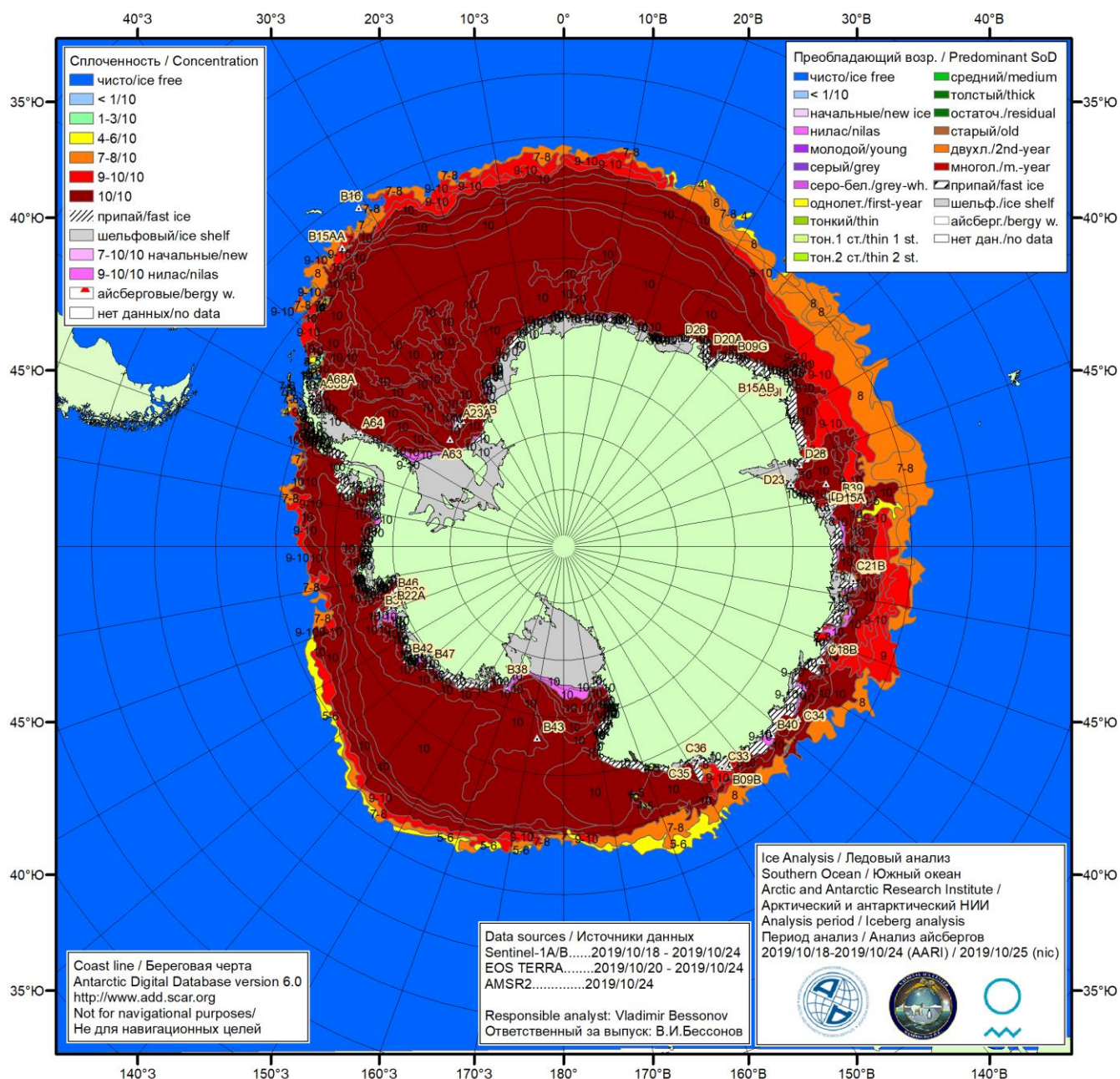


Рисунок 5а – Ледовая карта Южного океана (цветовая окраска по общей сплоченности) и расположение крупных айсбергов на основе информации совместного ледового анализа НЛЦ США, ААНИИ и НМИ (Норвегия) за 24.10.2019.

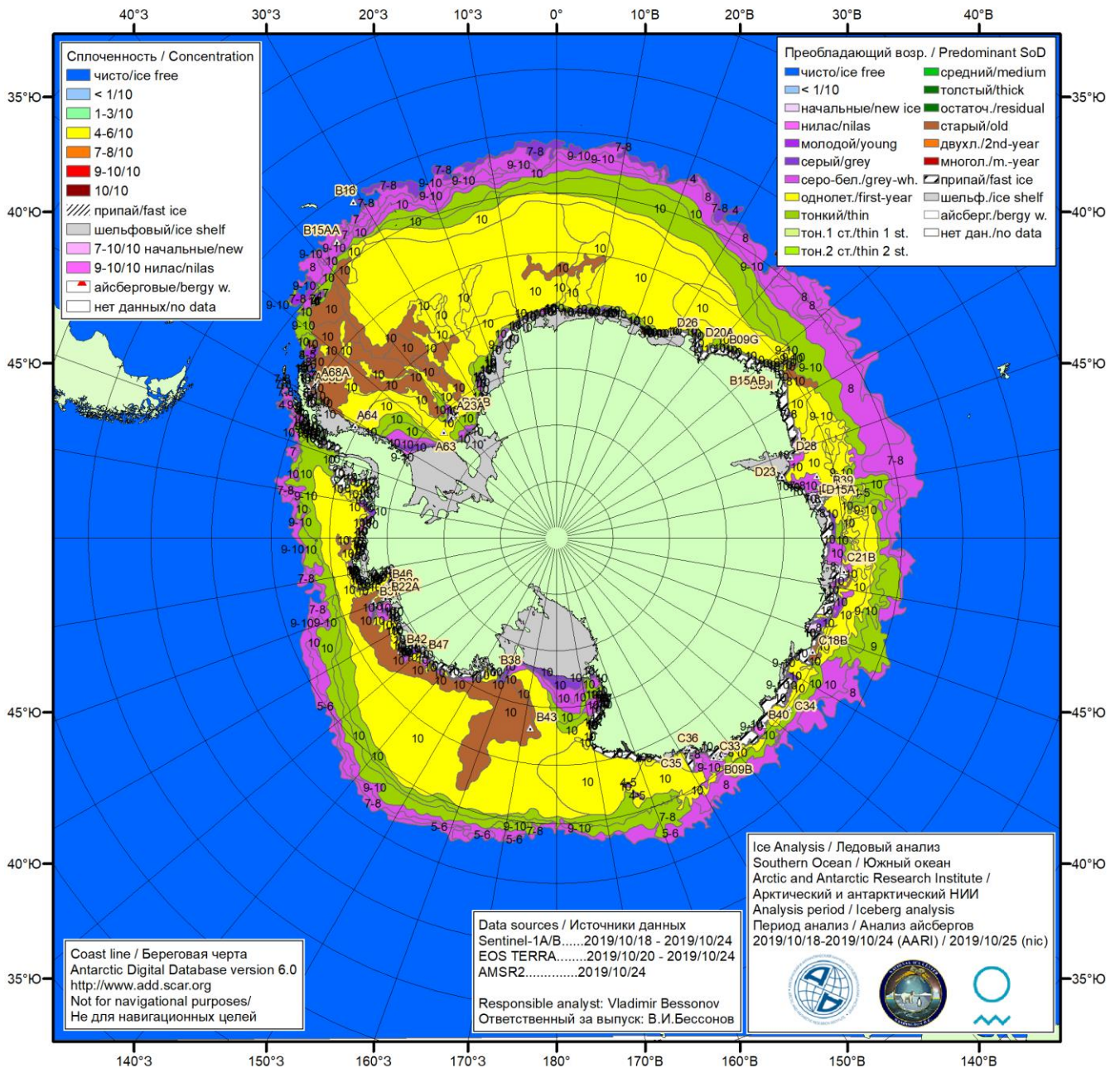


Рисунок 5б – Ледовая карта Южного океана (цветовая окраска по возрасту) и расположение крупных айсбергов на основе информации совместного ледового анализа НЛЦ США, ААНИИ и НМИ (Норвегия) за 24.10.2019.

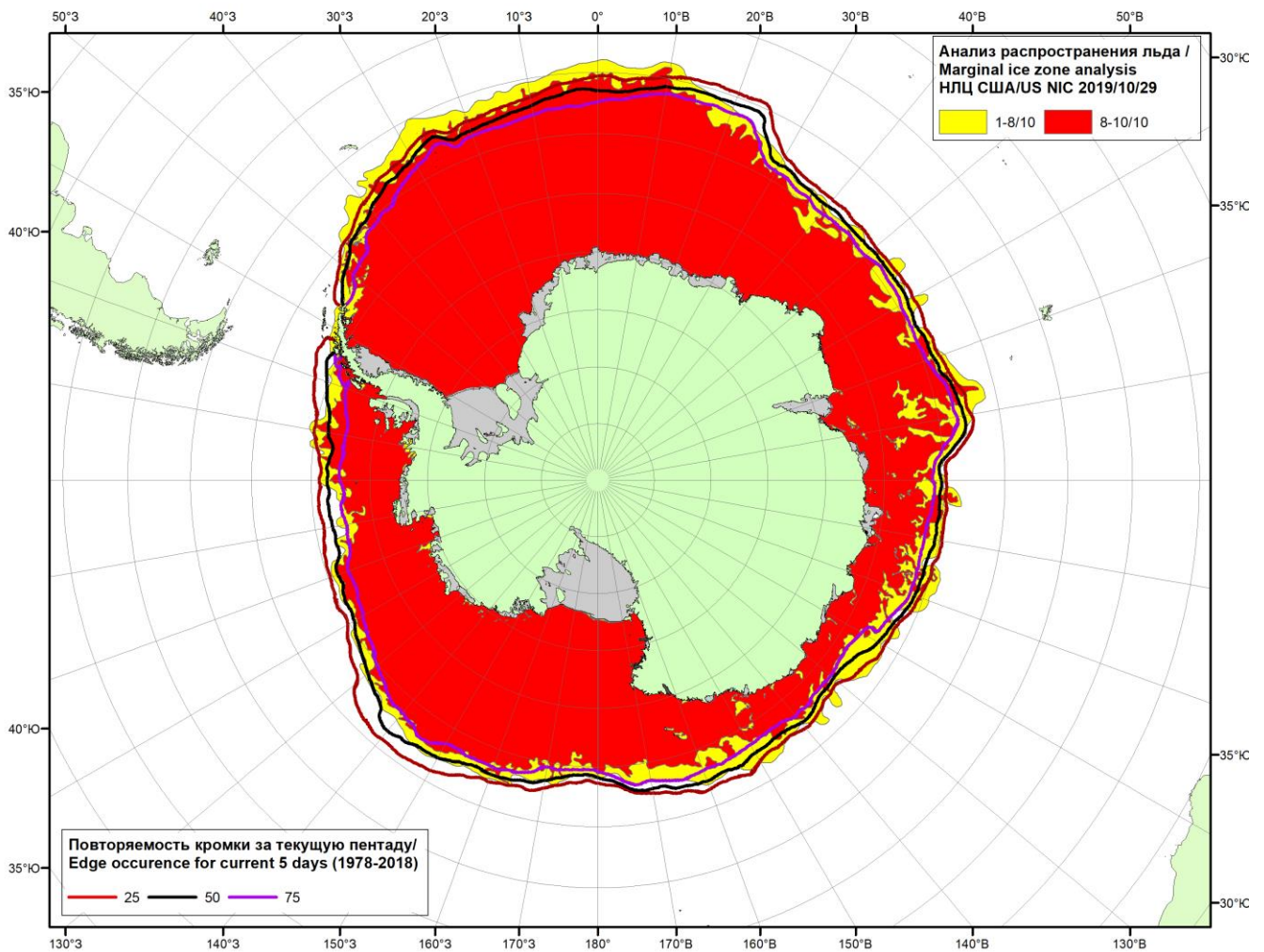


Рисунок 5в – Положение кромки льда и зон разреженных ( $<8/10$ ) и сплоченных ( $\geq 8/10$ ) льдов Южного океана за 29.10.2019 г. на основе ледового анализа Национального Ледового Центра США и повторяемость кромки за 26-31.10 за период 1979-2018 гг. по наблюдениям SSMR-SSM/I-SSMIS (алгоритм NASATEAM).

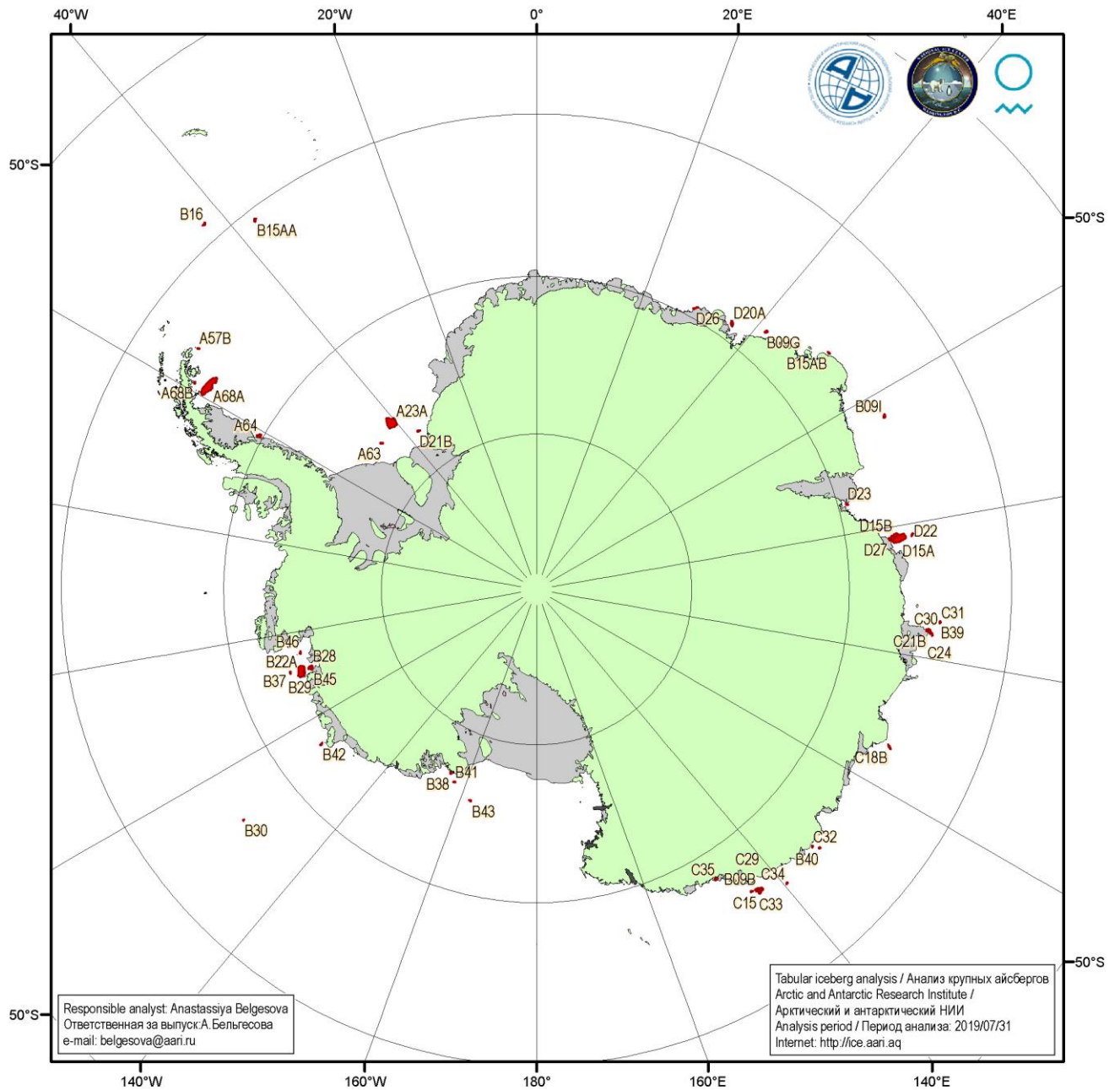
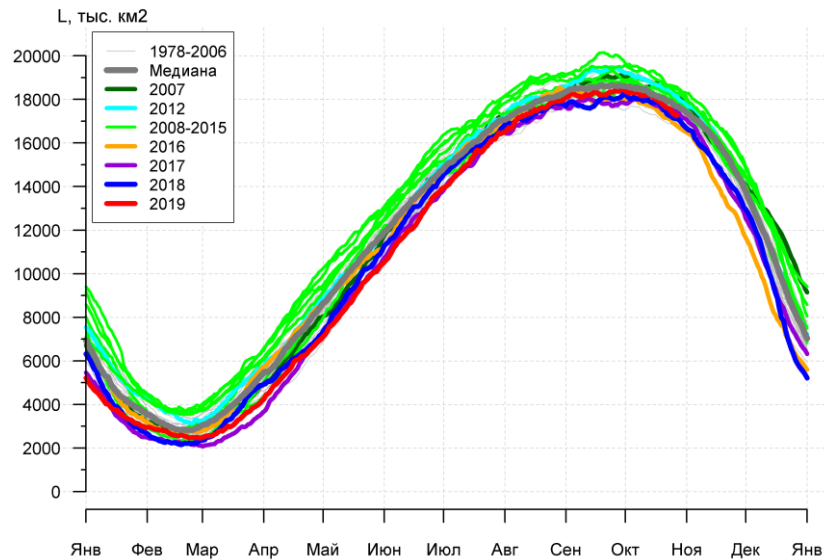


Рисунок 5д – Анализ ААНИИ крупных айсбергов Южного океана за 31.07.2019.

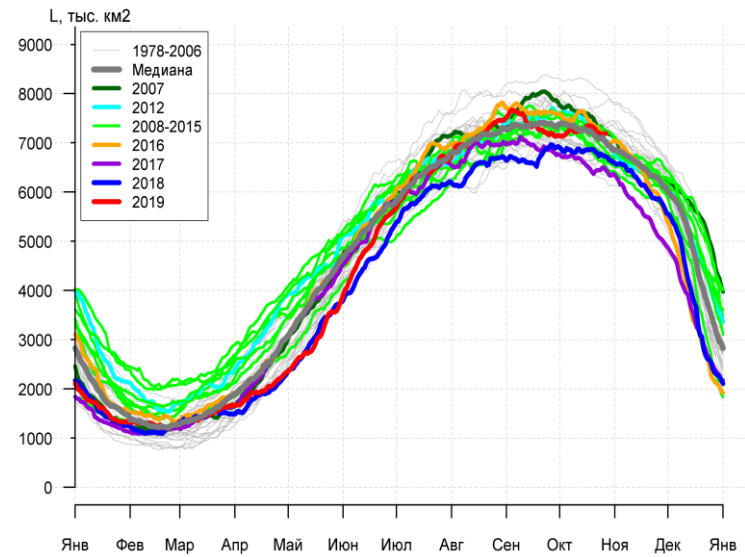
Таблица 4 – Параметры крупных айсбергов Южного океана на основе анализа ААНИИ за 31.07.2019

Table 4 - Southern Ocean tabular icebergs dimensions based on AARI analysis for 2019-07-31

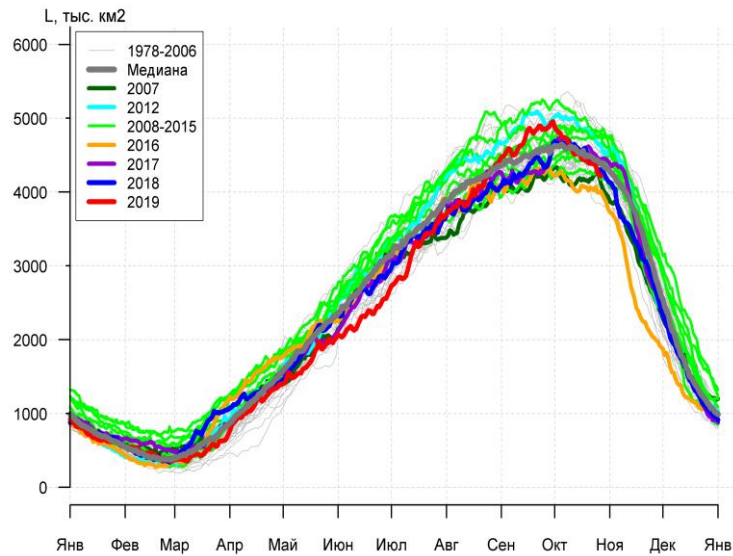
Имя/ Name	Длина/Length км/km	Ширина/Width км/km	Площадь/Area кв.км/sq.km	Имя/ Name	Длина/Length км/km	Ширина/Width км/km	Площадь/Area кв.км/sq.km
<b>A68A</b>	<b>156</b>	<b>50</b>	<b>5796</b>	B45	17	12	141
A23A	81	74	3996	A63	20	6	134
D15A	94	44	3587	B46	26	7	124
B22A	81	44	3192	D22	22	6	111
D15B	61	22	1185	B15AB	20	7	109
B09B	50	19	603	B29	20	9	108
A64	30	20	461	C34	19	9	107
D20A	39	17	455	B39	15	7	105
C15	26	19	341	C30	17	6	93
C21B	22	15	317	B43	19	9	93
C18B	37	7	243	B40	15	9	90
B09I	22	11	221	C33	15	7	88
B15AA	20	11	216	B38	11	7	87
B16	30	11	210	A68B	13	7	86
B09G	22	13	200	C24	20	6	85
B28	19	13	196	C31	17	6	84
D23	15	11	164	C29	13	9	83
D26	33	2	149	B37	15	6	82
C35	23	10	147	B41	15	7	82
D21B	20	7	147	C32	11	9	78
D27	15	11	147	A57B	13	7	70
B42	31	9	142	B30	46	31	45



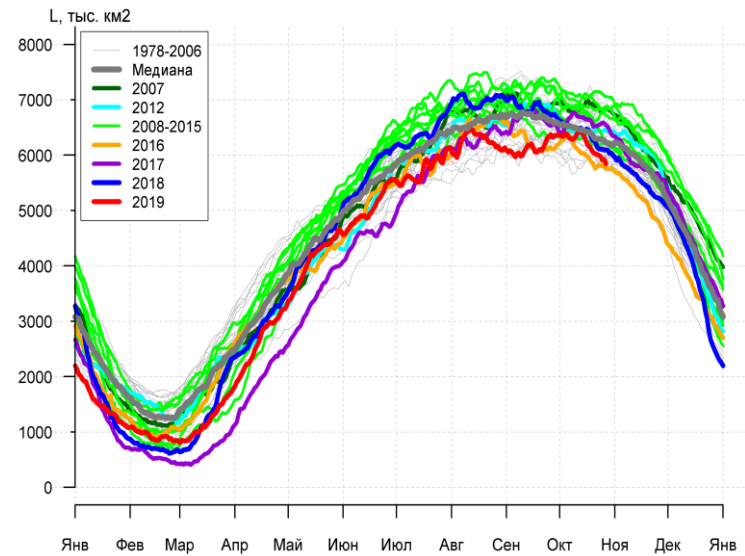
а)



б)



в)



г)

Рисунок 7а – Ежедневные оценки сезонного хода ледовитости Южного Океана и меридиональных секторов за период 26.10.1978 – 27.10.2019 по годам на основе расчетов по данным SSMR-SSM/I-SSMIS, алгоритм NASATEAM: а) Южный Океан, б) Атлантический сектор (60°W-30°E, море Уэдделла), в) Индоокеанский сектор (30°E-150°E, моря Космонавтов, Содружества, Моусона), г) Тихоокеанский сектор (150°E-60°W, моря Росса, Беллингаузена)



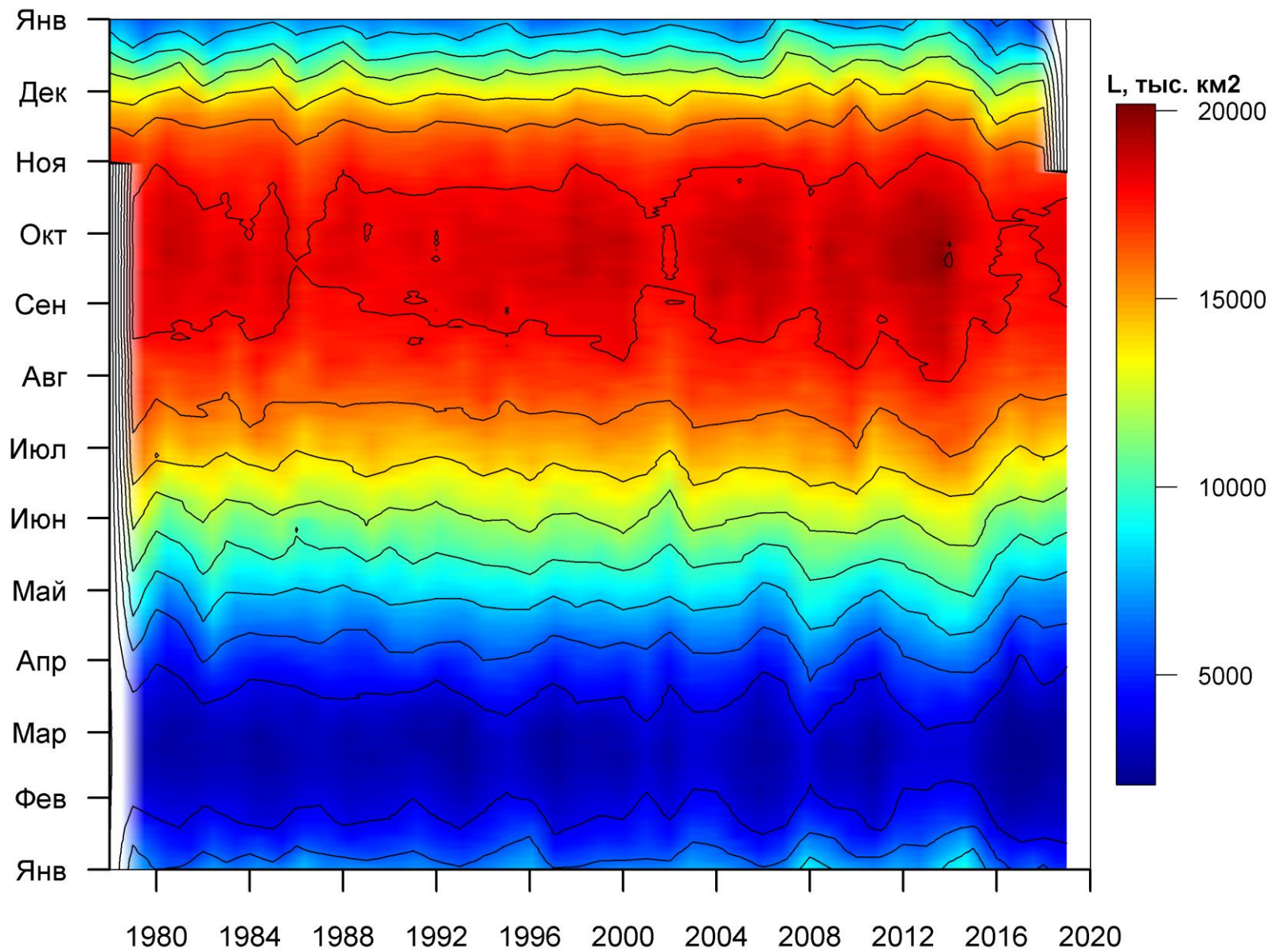


Рисунок 76 – Ежедневные оценки сезонных изменений ледовитости для Южного океана за период 26.10.1978 -27.10.2019 на основе расчетов по данным SSMR-SSM/I-SSMIS, алгоритм NASATEAM.

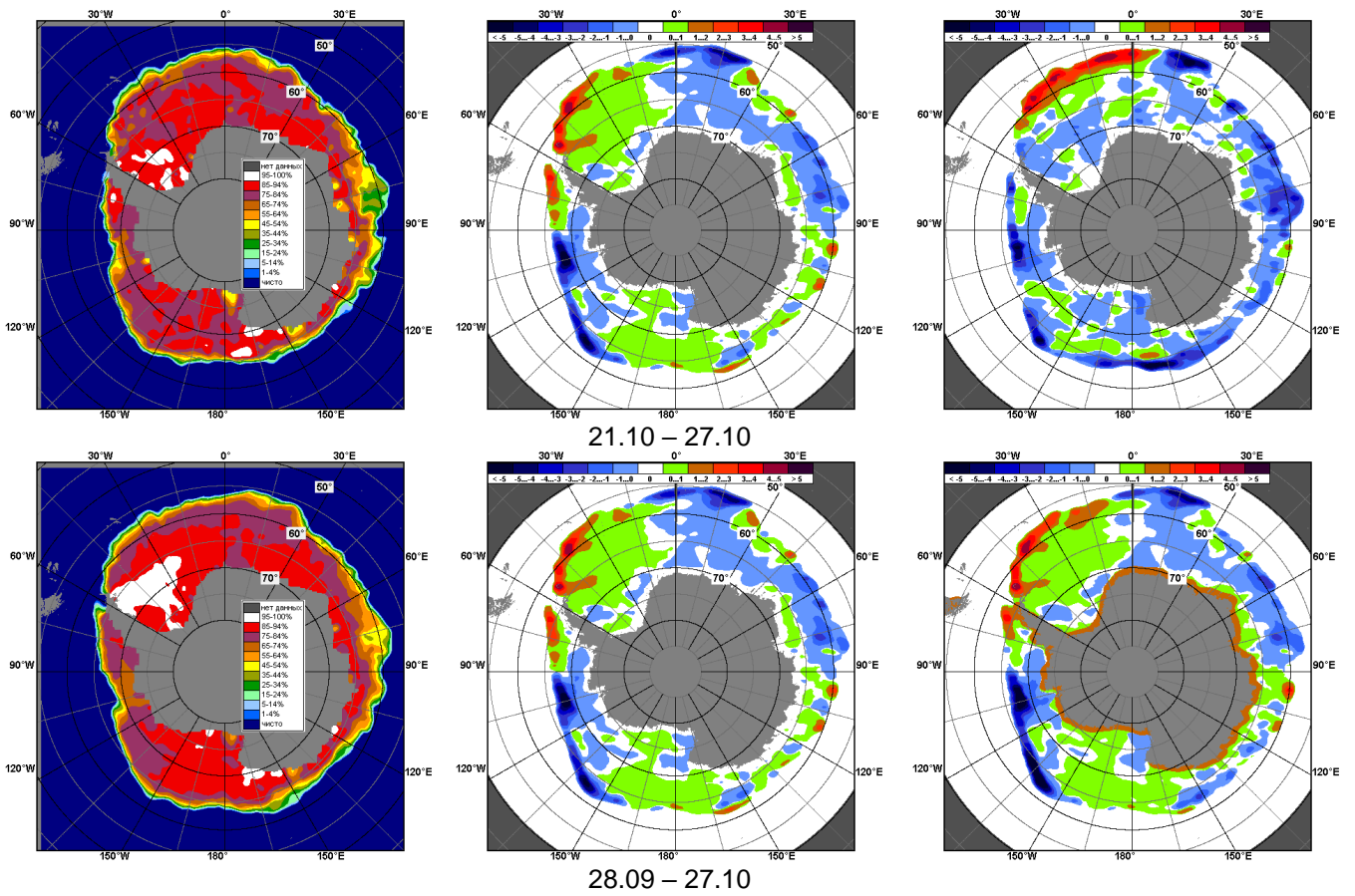


Рисунок 8 – Медианные распределения общей сплоченности льда за текущие 7 дневные промежутки (слева) и её разности относительно медианного распределения за тот же промежуток за периоды 1978-2019 (центр) и 2009-2019 гг. (справа) на основе расчетов по данным SSMR-SSM/I-SSMIS, алгоритм NASATEAM

Таблица 5 – Динамика изменения значений ледовитости по сравнению с предыдущей неделей для морей Южного океана за 21.10 -27.10.2019 г. по данным наблюдений SSMR-SSM/I-SSMIS

Регион	Южный Океан	Атлантический сектор	Индокоеанский сектор	Тихоокеанский сектор
Разность	-489.1	-114.3	-132.0	-242.9
тыс. кв. км/сут.	-69.9	-16.3	-18.9	-34.7

Таблица 6 - Медианные значения ледовитости для Южного океана и 3 меридиональных секторов за текущие 30 и 7-дневные интервалы и её аномалии от 2012-2016 гг. и интервалов 2007-2017 гг. и 1978-2017 гг. по данным наблюдений SSMR-SSM/I-SSMIS, алгоритм NASATEAM

Южный Океан

Месяц	S, тыс. км2	Аномалии, тыс км2/%						
		2014 г	2015 г	2016 г	2017 г	2018 г	2009-2019гг	1978-2019гг
28.09-27.10	18030.6	-1144.1	-492.6	412.0	246.1	221.6	-374.1	-241.3
		-6.0	-2.7	2.3	1.4	1.2	-2.0	-1.3
21-27.10	17478.6	-1142.6	-640.2	465.8	-32.6	230.2	-439.1	-375.3
		-6.1	-3.5	2.7	-0.2	1.3	-2.5	-2.1

Атлантический сектор (60°W-30°E, море Уэдделла)

Месяц	S, тыс. км2	Аномалии, тыс км2/%						
		2014 г	2015 г	2016 г	2017 г	2018 г	2009-2019гг	1978-2019гг
28.09-27.10	7226.5	-89.8	-103.3	-219.2	616.7	390.0	60.6	-0.8
		-1.2	-1.4	-2.9	9.3	5.7	0.8	0.0
21-27.10	7200.6	100.4	-86.1	9.7	743.5	437.1	264.8	160.5
		1.4	-1.2	0.1	11.5	6.5	3.8	2.3

Индокоеанский сектор (30°E-150°E, моря Космонавтов, Содружества, Моусона)

Месяц	S, тыс. км2	Аномалии, тыс км2/%						
		2014 г	2015 г	2016 г	2017 г	2018 г	2009-2019гг	1978-2019гг
28.09-27.10	4578.2	-447.5	121.1	459.9	-1.1	29.1	-42.8	15.8
		-8.9	2.7	11.2	0.0	0.6	-0.9	0.3
21-27.10	4322.0	-480.0	-114.7	293.1	-178.7	-30.9	-198.8	-129.8
		-10.0	-2.6	7.3	-4.0	-0.7	-4.4	-2.9

Тихоокеанский сектор (150°E-60°W, моря Росса, Беллинсгаузена)

Месяц	S, тыс. км2	Аномалии, тыс км2/%						
		2014 г	2015 г	2016 г	2017 г	2018 г	2009-2019гг	1978-2019гг
28.09-27.10	6225.6	-607.0	-510.7	171.1	-369.7	-197.4	-392.1	-256.6
		-8.9	-7.6	2.8	-5.6	-3.1	-5.9	-4.0
21-27.10	5956.1	-762.9	-439.5	162.9	-597.4	-176.0	-505.1	-405.9
		-11.4	-6.9	2.8	-9.1	-2.9	-7.8	-6.4

Таблица 7 – Экстремальные значения ледовитости для Южного океана и 3 меридиональных секторов за текущий 7-дневный интервал по Южный Океан

Южный Океан

Месяц	Минимальное знач.	Максимальное знач.	Среднее знач.	Медиана
21-27.10	16739.3 27.10.1986	18775.6 21.10.2013	17853.9	17852.6

Атлантический сектор (60°W-30°E, море Уэдделла)

Месяц	Минимальное знач.	Максимальное знач.	Среднее знач.	Медиана
21-27.10	6233.3 27.10.1990	8123.8 21.10.1980	7040.1	7042.7

Индокоеанский сектор (30°E-150°E, моря Космонавтов, Содружества, Моусона)

Месяц	Минимальное знач.	Максимальное знач.	Среднее знач.	Медиана
21-27.10	3835.4 27.10.1986	5025.0 23.10.1993	4451.8	4429.5

Тихоокеанский сектор (150°E-60°W, моря Росса, Беллинсгаузена)

Месяц	Минимальное знач.	Максимальное знач.	Среднее знач.	Медиана
21-27.10	5712.0 27.10.1993	7154.4 21.10.2009	6362.0	6266.0

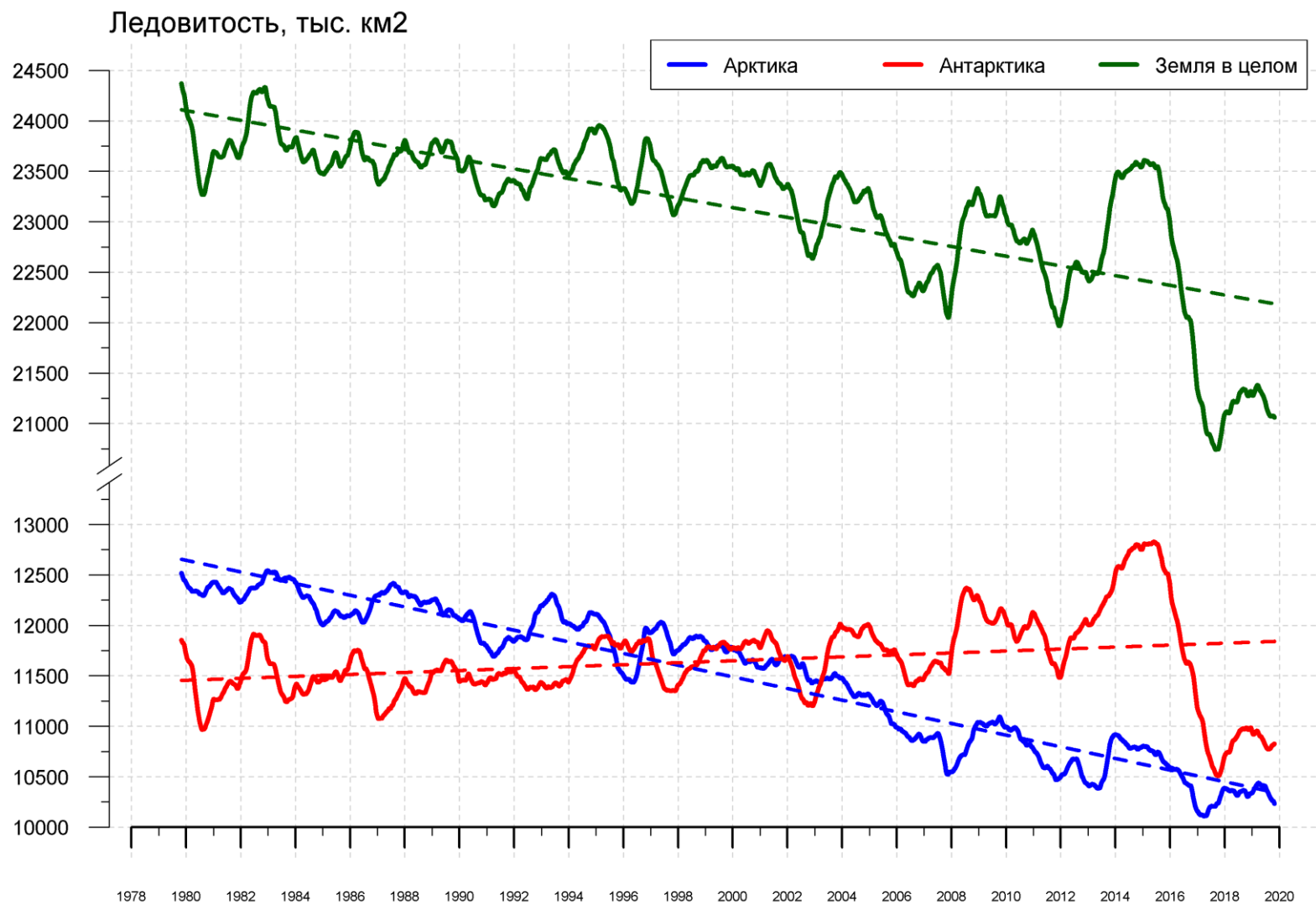


Рисунок 9 – Ежедневные сглаженные окном 365 суток значения приведенной ледовитости (площади морского льда) Арктики, Антарктики и Земли в целом с 26.10.1978 по 27.10.2019 на основе SSMR-SSM/I-SSMIS

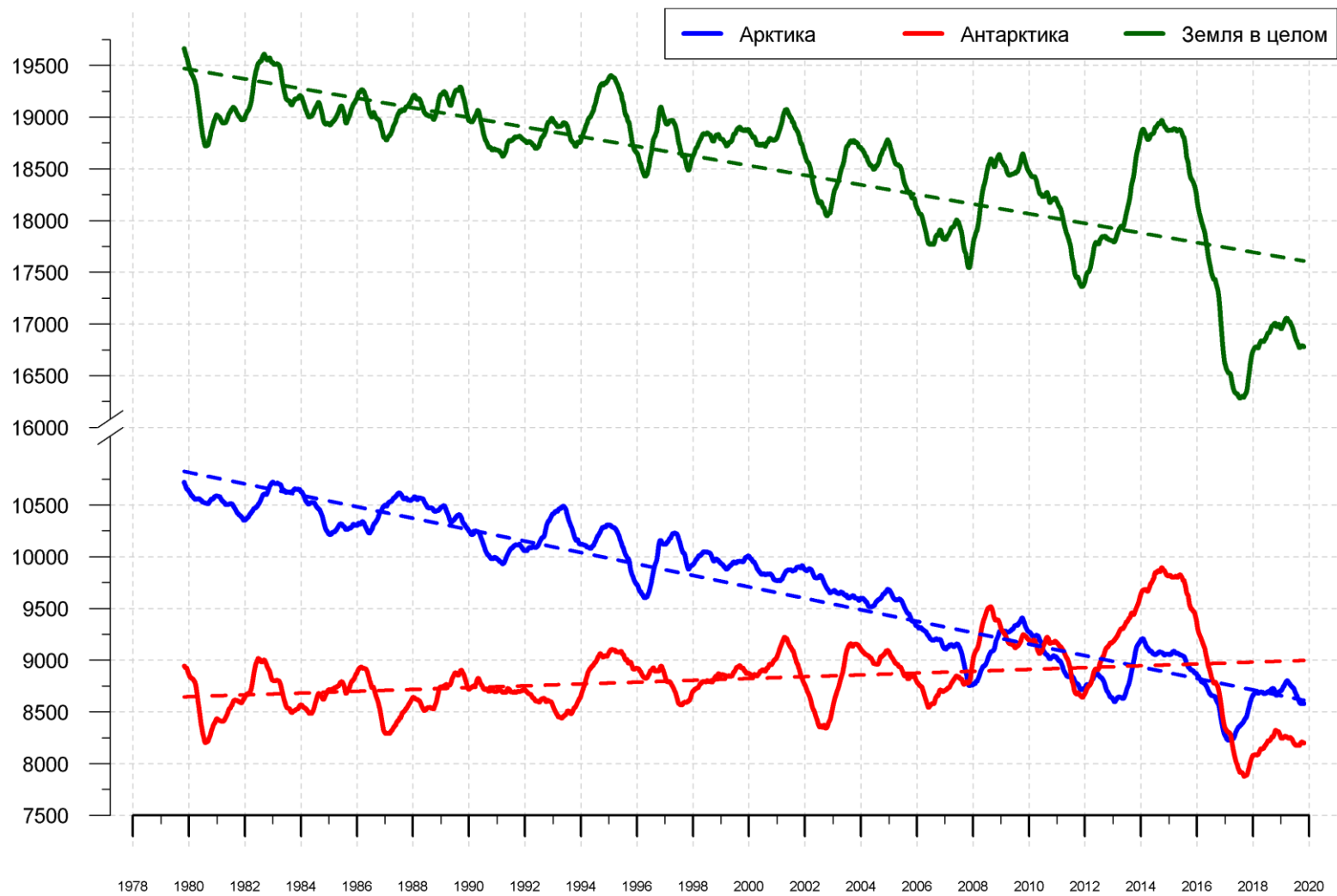


Рисунок 10 – Ежедневные сглаженные окном 365 суток значения ледовитости (площади распространения морского льда) Арктики, Антарктики и Земли в целом с 26.10.1978 по 27.10.2019 на основе SSMR-SSM/I-SSMIS

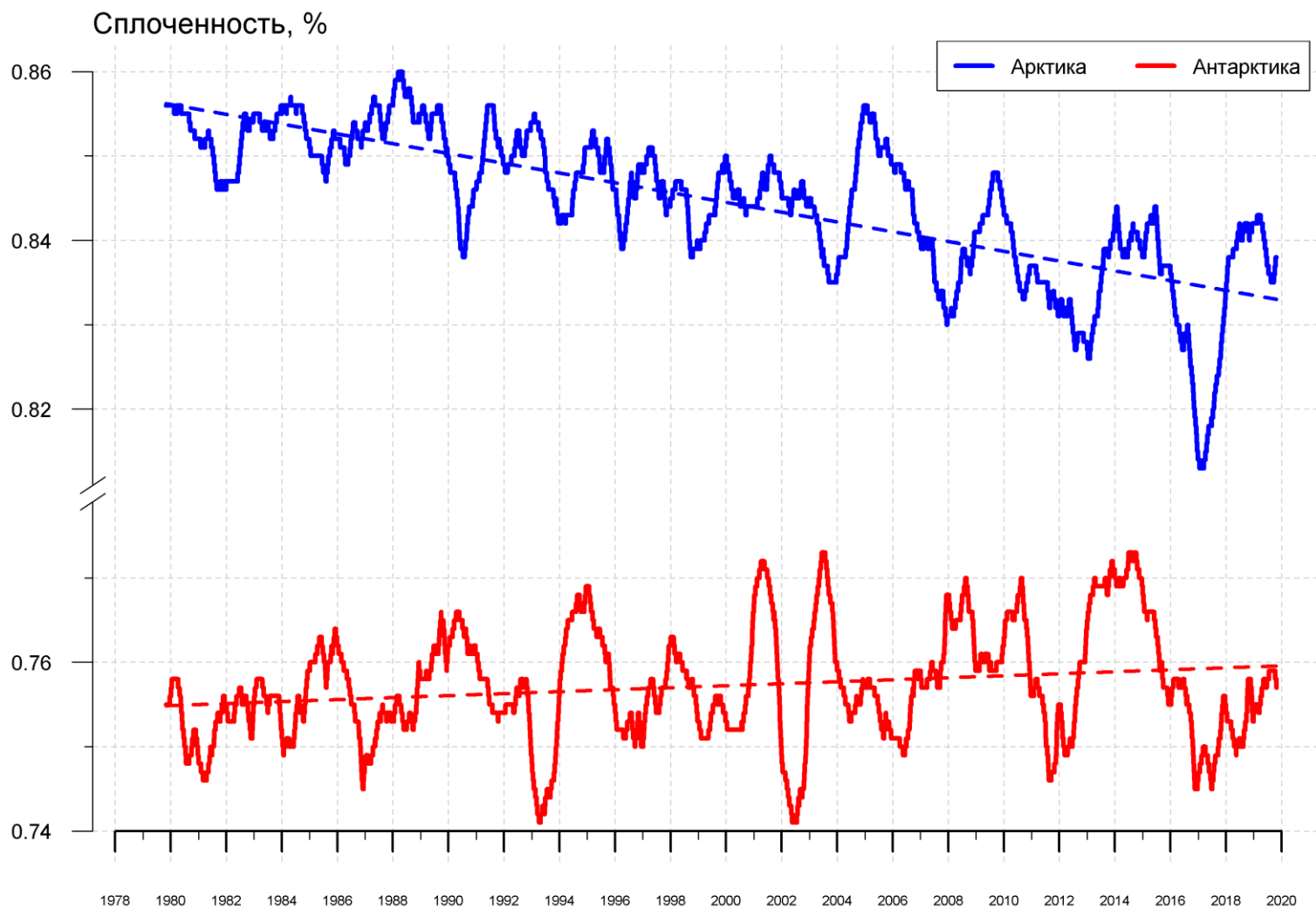


Рисунок 11 – Ежедневные сглаженные окном 365 суток значения средней общей сплоченности Арктики и Антарктики с 26.10.1978 по 27.10.2019 на основе SSMR-SSM/I-SSMIS

**Приложение 1 – Статистические значения ледовитостей по отдельным акваториям Северной Полярной Области и Южного океана**

Таблица 8 – Средние, аномалии среднего и экстремальные значения ледовитостей для Северной полярной области и её отдельных акваторий за текущие 7-дневный (неделя) и 30-дневный промежутки времени по данным наблюдений SSMR-SSM/I-SSMIS, алгоритм NASATEAM за период 1978-2017 гг.

21-27.10

Регион	S, тыс. км2	Аномалии, тыс км2/%							1978-2019гг			
		2012 г	2007 г	2016 г	2017 г	2018 г	2009-2019гг	1978-2019гг	Минимум дата	Максимум дата	Среднее	Медиана
Сев. полярная область	6294.8	-731.9	-811.6	-400.3	-1327.1	-668.7	-1152.1	-2467.3	5790.7	10493.1	8762.0	9035.6
		-10.4	-11.4	-6.0	-17.4	-9.6	-15.5	-28.2	21.10.2019	27.10.1982		
<b>Сектор 45°W-95°E</b>	1640.4	167.5	-143.9	206.9	26.8	342.8	-17.5	-516.2	1222.7	2958.5	2156.6	2269.4
		11.4	-8.1	14.4	1.7	26.4	-1.1	-23.9	23.10.2018	27.10.1982		
Гренландское море	436.0	-72.2	-94.9	43.1	176.6	55.6	18.0	-39.2	242.8	662.5	475.2	478.9
		-14.2	-17.9	11.0	68.1	14.6	4.3	-8.3	22.10.2017	22.10.1995		
Баренцево море	84.6	81.8	34.6	69.1	14.3	79.0	35.3	-113.8	0.0	543.8	198.4	191.7
		2967.4	69.3	448.1	20.4	1425.8	71.5	-57.4	21.10.2012	27.10.1982		
Карское море	88.6	18.1	-113.7	61.1	-248.8	9.2	-152.4	-399.7	11.3	839.2	488.2	574.9
		25.7	-56.2	222.5	-73.7	11.6	-63.3	-81.9	21.10.2018	21.10.1998		
<b>Сектор 95°E-170°W</b>	2011.9	-876.9	-114.8	-386.3	-867.2	-51.9	-643.3	-1057.2	1678.8	3476.3	3069.1	3234.8
		-30.4	-5.4	-16.1	-30.1	-2.5	-24.2	-34.4	21.10.2018	21.10.1994		
Море Лаптевых	414.3	-146.4	-239.7	-64.5	-260.0	180.5	-118.9	-219.6	85.1	674.3	633.8	674.3
		-26.1	-36.7	-13.5	-38.6	77.2	-22.3	-34.6	21.10.2018	21.10.1979		
Восточно-Сибирское море	306.3	-415.5	28.3	-96.0	-359.2	-233.0	-332.4	-505.0	132.5	915.1	811.3	915.1
		-57.6	10.2	-23.9	-54.0	-43.2	-52.0	-62.2	21.10.2019	21.10.1979		
Чукотское море	6.7	-184.9	-3.0	-76.5	-34.3	-9.1	-65.2	-210.7	4.3	522.7	217.4	214.4
		-96.5	-30.7	-91.9	-83.6	-57.6	-90.7	-96.9	21.10.2005	24.10.1983		
Берингово море	12.5	5.3	-4.2	-7.9	5.8	3.7	3.3	-8.8	2.4	77.4	21.2	17.7
		73.4	-25.3	-38.7	87.9	41.8	36.0	-41.4	22.10.2019	27.10.1982		
<b>Сектор 170°W-45°W</b>	2642.4	-22.6	-552.9	-221.0	-486.8	-959.7	-491.3	-893.9	2554.3	4396.9	3536.3	3570.6
		-0.8	-17.3	-7.7	-15.6	-26.6	-15.7	-25.3	21.10.2019	27.10.1986		
Море Бофорта	267.2	180.4	-100.1	63.3	7.9	-187.1	-20.0	-132.4	72.8	486.6	399.6	460.1
		207.7	-27.3	31.1	3.1	-41.2	-6.9	-33.1	25.10.2012	21.10.1984		
Гудзонов залив	14.7	1.9	-0.2	5.7	-12.0	0.3	-1.0	-12.4	6.5	85.1	27.1	21.4
		14.7	-1.2	64.0	-44.9	2.2	-6.4	-45.8	25.10.2019	25.10.1979		
Море Лабрадор	0.0	0.0	-5.8	-0.3	-0.2	0.0	-1.7	-8.4	0.0	44.6	8.4	6.8
		-	-100.0	-100.0	-100.0	-	-100.0	-100.0	21.10.1999	21.10.1991		
Дейвисов пролив	12.4	-8.0	5.5	4.6	-1.5	1.3	1.0	-7.4	3.6	142.9	19.8	11.6
		-39.0	80.3	58.4	-10.9	11.2	8.9	-37.1	26.10.1991	24.10.1983		
Канадский архипелаг	575.3	-75.2	-156.5	-93.6	-144.8	-294.7	-141.8	-208.5	509.0	1024.1	783.8	782.6
		-11.6	-21.4	-14.0	-20.1	-33.9	-19.8	-26.6	23.10.2019	27.10.1986		

28.09-27.10

Регион	S, тыс. км2	Аномалии, тыс км2/%							1978-2019гг			
		2012 г	2007 г	2016 г	2017 г	2018 г	2009-2019гг	1978-2019гг	Минимум дата	Максимум дата	Среднее	Медиана
Сев. полярная область	5330.9	49.6	-318.2	-427.0	-1056.2	-394.8	-867.8	-2343.8	3815.1	10493.1	7674.6	7913.3
		0.9	-5.6	-7.4	-16.5	-6.9	-14.0	-30.5	28.09.2012	27.10.1982		
<b>Сектор 45°W-95°E</b>	1407.5	60.5	-238.1	70.2	41.8	206.2	-28.5	-446.0	855.2	2958.5	1853.5	1803.4
		4.5	-14.5	5.3	3.1	17.2	-2.0	-24.1	28.09.2013	27.10.1982		
Гренландское море	360.2	-81.3	-137.6	12.8	153.7	7.5	-2.2	-62.1	151.9	662.5	422.3	432.5
		-18.4	-27.6	3.7	74.4	2.1	-0.6	-14.7	03.10.2017	22.10.1995		
Баренцево море	27.0	20.2	-3.3	17.9	-7.8	22.7	-6.1	-99.7	0.0	543.8	126.7	79.7
		296.7	-10.8	195.7	-22.3	519.9	-18.5	-78.7	28.09.2012	27.10.1982		
Карское море	34.1	7.4	-72.5	18.5	-130.2	7.3	-73.7	-294.5	2.5	839.2	328.7	329.6
		27.4	-68.0	118.9	-79.2	27.4	-68.3	-89.6	01.10.1995	17.10.1998		
<b>Сектор 95°E-170°W</b>	1451.9	-288.8	149.0	-471.3	-858.6	-35.3	-560.2	-1196.7	737.5	3476.3	2648.6	2890.5
		-16.6	11.4	-24.5	-37.2	-2.4	-27.8	-45.2	28.09.2007	21.10.1994		
Море Лаптевых	185.6	-12.1	-231.0	-69.9	-305.9	114.0	-81.5	-291.2	7.0	674.3	476.8	590.0
		-6.1	-55.4	-27.4	-62.2	159.0	-30.5	-61.1	28.09.2018	28.09.1996		
Восточно-Сибирское море	86.4	-148.5	1.0	-148.7	-294.6	-183.2	-293.5	-539.5	1.9	915.1	625.9	751.4
		-63.2	1.1	-63.2	-77.3	-68.0	-77.3	-86.2	02.10.2007	06.10.1983		
Чукотское море	6.1	-74.9	-1.4	-26.3	-12.5	-2.2	-29.0	-156.8	0.6	522.7	162.8	122.1
		-92.5	-18.5	-81.3	-67.2	-26.4	-82.7	-96.3	28.09.2011	24.10.1983		
Берингово море	10.8	4.5	-1.7	-6.5	-1.4	-6.9	0.4	-9.1	0.0	92.1	20.0	16.6
		71.1	-13.9	-37.5	-11.1	-39.0	3.6	-45.7	28.09.1999	12.10.1993		
<b>Сектор 170°W-45°W</b>	2471.5	277.9	-229.2	-25.9	-239.3	-565.7	-279.1	-701.1	1709.2	4396.9	3172.5	3189.1
		12.7	-8.5	-1.0	-8.8	-18.6	-10.1	-22.1	28.09.2012	27.10.1986		
Море Бофорта	178.3	136.5	-80.7	83.6	4.2	-173.7	-26.9	-139.8	8.4	486.6	318.2	314.0
		325.7	-31.2	88.3	2.4	-49.3	-13.1	-43.9	30.09.2012	29.09.1996		
Гудзонов залив	13.5	2.5	-4.9	-1.9	-8.0	-0.3	-1.9	-11.9	2.3	156.7	25.4	20.7
		22.2	-26.8	-12.1	-37.2	-2.4	-12.1	-46.7	01.10.2015	05.10.1990		
Море Лабрадор	0.1	0.1	-9.0	0.0	0.0	0.0	-1.5	-8.9	0.0	44.6	8.9	7.3
		-	-99.3	-21.7	0.0	200.0	-96.1	-99.3	28.09.1996	21.10.1991		
Дейвисов пролив	12.1	-3.0	1.9	2.7	1.3	1.2	0.3	-5.0	3.0	142.9	17.1	12.1
		-19.9	18.4	29.1	11.9	10.8	2.6	-29.1	11.10.1991	24.10.1983		
Канадский архипелаг	529.5	108.7	-7.6	-23.7	-106.6	-221.5	-61.2	-135.4	182.4	1024.1	664.9	685.9
		25.8	-1.4	-4.3	-16.8	-29.5	-10.4	-20.4	01.10.2012	27.10.1986		



Таблица 9 – Средние, аномалии среднего и экстремальные значения ледовитостей для Южного океана и его отдельных акваторий за текущие 7-дневный (неделя) и 30-дневный промежутки времени по данным наблюдений SSMR-SSM/I-SSMIS, алгоритм NASATEAM за период 1978-2017 гг.  
21-27.10

Регион	S, тыс. км2	Аномалии, тыс км2/%							1978-2019гг			
		2012 г	2007 г	2016 г	2017 г	2018 г	2009-2019гг	1978-2019гг	Минимум дата	Максимум дата	Среднее	Медиана
Южный Океан	17478.6	-835.0	-863.7	465.8	-32.6	230.2	-439.1	-375.3	16739.3	18775.6	17853.9	17852.6
		-4.6	-4.7	2.7	-0.2	1.3	-2.5	-2.1	27.10.1986	21.10.2013		
<b>Атлантический сектор</b>	7200.6	47.9	-108.4	9.7	743.5	437.1	264.8	160.5	6233.3	8123.8	7040.1	7042.7
		0.7	-1.5	0.1	11.5	6.5	3.8	2.3	27.10.1990	21.10.1980		
Западная часть моря Уэдделла	2384.6	123.9	71.1	298.8	175.8	141.0	148.4	130.6	1819.8	2723.9	2254.1	2272.2
		5.5	3.1	14.3	8.0	6.3	6.6	5.8	26.10.2001	21.10.1980		
Восточная часть моря Уэдделла	4816.0	-75.9	-179.5	-289.1	567.6	296.1	116.4	29.9	3906.5	5422.0	4786.1	4801.0
		-1.6	-3.6	-5.7	13.4	6.6	2.5	0.6	27.10.1990	21.10.1992		
<b>Индоокеанский сектор</b>	4322.0	-396.4	118.2	293.1	-178.7	-30.9	-198.8	-129.8	3835.4	5025.0	4451.8	4429.5
		-8.4	2.8	7.3	-4.0	-0.7	-4.4	-2.9	27.10.1986	23.10.1993		
Море Космонавтов	1233.9	-3.1	197.6	223.8	-10.2	-65.7	-40.7	-11.7	913.6	1593.1	1245.6	1237.7
		-0.3	19.1	22.2	-0.8	-5.1	-3.2	-0.9	21.10.1996	26.10.2010		
Море Содружества	1420.3	-208.3	-93.0	80.3	41.0	-279.7	-117.7	-108.4	1294.9	1764.7	1528.6	1519.8
		-12.8	-6.1	6.0	3.0	-16.5	-7.7	-7.1	27.10.1986	21.10.2014		
Море Моусона	1667.8	-185.0	13.7	-11.0	-209.5	314.5	-40.4	-9.7	1069.8	2185.0	1677.5	1681.8
		-10.0	0.8	-0.7	-11.2	23.2	-2.4	-0.6	21.10.1989	21.10.1993		
<b>Тихоокеанский сектор</b>	5956.1	-486.5	-873.5	162.9	-597.4	-176.0	-505.1	-405.9	5712.0	7154.4	6362.0	6266.0
		-7.6	-12.8	2.8	-9.1	-2.9	-7.8	-6.4	27.10.1993	21.10.2009		
Море Росса	5122.7	-362.7	-1101.4	7.7	-127.1	-93.2	-349.7	-306.5	4670.2	6277.6	5429.2	5365.1
		-6.6	-17.7	0.2	-2.4	-1.8	-6.4	-5.6	27.10.1991	23.10.1999		
Море Беллинсгаузена	833.3	-123.9	227.9	155.2	-470.3	-82.8	-155.4	-99.5	491.0	1492.3	932.8	933.8
		-12.9	37.6	22.9	-36.1	-9.0	-15.7	-10.7	27.10.2008	27.10.1994		

28.09-27.10

Регион	S, тыс. км2	Аномалии, тыс км2/%							1978-2019гг			
		2012 г	2007 г	2016 г	2017 г	2018 г	2009-2019гг	1978-2019гг	Минимум дата	Максимум дата	Среднее	Медиана
Южный Океан	18030.6	-773.5	-630.3	412.0	246.1	221.6	-374.1	-241.3	16739.3	19960.4	18271.9	18232.4
		-4.1	-3.4	2.3	1.4	1.2	-2.0	-1.3	27.10.1986	28.09.2014		
<b>Атлантический сектор</b>	7226.5	-206.2	-358.3	-219.2	616.7	390.0	60.6	-0.8	6233.3	8325.5	7227.3	7245.5
		-2.8	-4.7	-2.9	9.3	5.7	0.8	0.0	27.10.1990	12.10.1980		
Западная часть моря Уэдделла	2478.1	183.6	119.9	410.7	287.2	297.3	177.2	154.9	1819.8	3146.8	2323.2	2307.6
		8.0	5.1	19.9	13.1	13.6	7.7	6.7	26.10.2001	02.10.1987		
Восточная часть моря Уэдделла	4748.4	-389.8	-478.2	-629.9	329.4	92.6	-116.6	-155.7	3906.5	5739.9	4904.1	4927.4
		-7.6	-9.1	-11.7	7.5	2.0	-2.4	-3.2	27.10.1990	04.10.1992		
<b>Индоокеанский сектор</b>	4578.2	-323.2	380.6	459.9	-1.1	29.1	-42.8	15.8	3835.4	5361.3	4562.4	4520.0
		-6.6	9.1	11.2	0.0	0.6	-0.9	0.3	27.10.1986	08.10.1993		
Море Космонавтов	1270.1	41.1	236.1	195.5	4.9	-52.5	-18.6	19.0	874.9	1675.6	1251.1	1235.4
		3.3	22.8	18.2	0.4	-4.0	-1.4	1.5	08.10.1996	16.10.2010		
Море Содружества	1481.9	-148.5	-48.7	126.2	126.1	-134.5	-75.8	-69.8	1193.7	1923.1	1551.8	1553.5
		-9.1	-3.2	9.3	9.3	-8.3	-4.9	-4.5	28.09.2017	02.10.2014		
Море Моусона	1826.2	-215.7	193.2	138.2	-132.2	216.1	51.6	66.7	1057.1	2420.1	1759.5	1759.7
		-10.6	11.8	8.2	-6.7	13.4	2.9	3.8	12.10.1989	01.10.1982		
<b>Тихоокеанский сектор</b>	6225.6	-244.4	-652.9	171.1	-369.7	-197.4	-392.1	-256.6	5651.0	7382.3	6482.2	6452.8
		-3.8	-9.5	2.8	-5.6	-3.1	-5.9	-4.0	08.10.1987	28.09.2013		
Море Росса	5236.4	-392.4	-1029.3	-160.7	-53.5	-117.6	-352.3	-250.1	4481.0	6457.4	5486.6	5449.7
		-7.0	-16.4	-3.0	-1.0	-2.2	-6.3	-4.6	08.10.1987	02.10.2007		
Море Беллинсгаузена	989.1	148.0	376.4	331.7	-316.1	-80.1	-39.8	-6.5	490.4	1649.8	995.6	1004.1
		17.6	61.4	50.5	-24.2	-7.5	-3.9	-0.7	17.10.1998	29.09.2015		

Таблица 10 – Динамика изменения значений ледовитости по сравнению с предыдущей неделей для морей Северной полярной области и Южного океана за текущий 7-дневный (неделя) промежуток времени по данным наблюдений SSMIS

21-27.10				
Регион	Сев. полярная область	Сектор 45°W-95°E	Гренландское море	Баренцево море
Разность	873.0	177.3	31.1	64.4
тыс.кв.км/сут.	124.7	25.3	4.4	9.2

21-27.10				
Регион	Карское море	Сектор 95°E-170°W	Море Лаптевых	Восточно-Сибирское море
Разность	62.5	561.1	202.2	263.0
тыс.кв.км/сут.	8.9	80.2	28.9	37.6

21-27.10				
Регион	Чукотское море	Берингово море	Сектор 170°W-45°W	Море Бофорта
Разность	1.2	2.2	134.6	78.3
тыс.кв.км/сут.	0.2	0.3	19.2	11.2

21-27.10				
Регион	Гудзонов залив	Море Лабрадор	Дейвисов пролив	Канадский архипелаг
Разность	-1.1	-0.1	4.1	14.1
тыс.кв.км/сут.	-0.2	0.0	0.6	2.0

21-27.10				
Регион	Южный Океан	Атлантический сектор	Западная часть моря Уэдделла	Восточная часть моря Уэдделла
Разность	-489.1	-114.3	-148.8	34.6
тыс.кв.км/сут.	-69.9	-16.3	-21.3	4.9

21-27.10				
Регион	Индоокеанский сектор	Море Космонавтов	Море Содружества	Море Моусона
Разность	-132.0	48.1	-25.9	-154.1
тыс.кв.км/сут.	-18.9	6.9	-3.7	-22.0

21-27.10				
Регион	Тихоокеанский сектор	Море Росса	Море Беллинсгаузена	
Разность	-242.9	-129.1	-113.9	
тыс.кв.км/сут.	-34.7	-18.4	-16.3	

## Характеристика исходного материала и методика расчетов

Для иллюстрации ледовых условий Арктического региона представлены совмещенные региональные карты ААНИИ [4, 6], Канадской ледовой службы – КЛС [12], Национального ледового центра США – НЛЦ [10], при наличии данных, ГМЦ России [8], НИЦ Планета [9] и ледовой службы Германии. Совмещение карт выполнено путем перекрытия слоев (ААНИИ, слой #1), (ГМЦ России или НИЦ Планета, слой #1), (BSH, слой #1) -> (КЛС, слой #2) -> (обзорная карта НЛЦ, слой #3). Как результат, карты ААНИИ характеризуют ледовые условия морей Гренландского...Бофорта, карты ГМЦ России или НИЦ Планета – Азовского, Каспийского, Берингова, Охотского, Японского, Белого, карты НЛЦ – Северных частей Тихого и Атлантического океанов и Арктического бассейна (при этом полный охват карт НЛЦ – вся акватория СЛО и субполярные моря). карты BSH – Балтийского карты КЛС - морей Бофорта, Канадского архипелага, Баффина, Девисова пролива, Лабрадор, Св. Лаврентия (при этом полный охват карт НЛЦ – вся акватория СЛО и субполярные моря). Для ледовых условий и распределения айсбергов Южного океана использованы данные проекта по интегрированному ледовому анализу Южного океана – циркумполярные карты ААНИИ [5, 7], НЛЦ [10, 11] и карты акватории Антарктического полуострова Норвежского метеорологического института (НМИ) [21]. Для построения совмещенных карт используется архив данных в обменном формате ВМО СИГРИД-3 [18] Мирового центра данных по морскому льду (МЦД МЛ) – проекта ВМО «Глобальный Банк Цифровых Данных по Морскому Льду». В пределах отдельного срока выборка карт из архива проводилась по критериям близости карт к сроку выпуска карты ААНИИ с максимальным интервалом времени между картами до 7 суток (день недели выпуска карт ААНИИ – вторник, ГМЦ России – среда, НИЦ Планета – понедельник, BSH – понедельник, КЛС – понедельник, НЛЦ – четверг для морского льда и пятница – для крупных айсбергов Южного океана, НМИ - понедельник).

Для иллюстрации полей толщин льда СЛО использованы ежедневные данные по распределению средневзвешенной толщины льда численной модели NUCOM-CICE Датского метеорологического института (ДМИ) [20]. Численная модель NUCOM-CICE имеет разрешение 10x10 км и является совместной моделью морского льда – океана. Портал полярных данных ДМИ [22] используется также как источник данных по оценке объема льда СЛО, температуры поверхности океана/морского льда, аномалий температуры воздуха и поля приземного ветра.

Для иллюстрации ледовых условий Северной Полярной области и Южного океана за последние сутки используются ежедневные циркумполярные ледовые информационные продукты НЛЦ США по оценке расположения кромки льда и ледяных массивов - MIZ (Marginal Ice Zone).

Для цветовой окраски карт использован стандарт ВМО (WMO/Td. 1215) [19] для зимнего (по возрасту) и летнего (по общей сплоченности) периодов. Следует также отметить, что в зонах стыковки карт ААНИИ, КЛС и НЛЦ наблюдается определенная несогласованность границ и характеристик ледовых зон вследствие ряда различий в ледовых информационных системах подготавливающих служб. Однако, данная несогласованность несущественна для целей интерпретации ледовых условий в рамках настоящего обзора.

Для получения оценок ледовитости (extent) и приведенной ледовитости – площади льда (area) отдельных секторов, морей, частей морей Северной полярной области и Южного океана и климатического положения кромок заданной повторяемости на основе данных спутниковых систем пассивного микроволнового зондирования SSMR-SSM/I-SSMIS [17] в МЦД МЛ ААНИИ принята следующая технология расчетов:

– источник данных – архивные (Cavalieri et al., 2008, Meier et al., 2006) и квазиоперативные (Maslanik and Stroeve, 1999) с задержкой 1-2 дня ежедневные матрицы (поля распределения) оценок общей сплоченности Северной (севернее 45° с.ш.) и Южной (южнее 50° с.ш.) Полярных областей на основе обработанных по алгоритму NASATEAM данных многоканальных микроволновых радиометров SSMR-SSM/I-SSMIS ИСЗ

NIMBUS-7 и DMSP за период с 26.10.1978 г. по настоящий момент времени [13, 14, 15], копируемые с сервера НЦДСЛ;

- область расчета – Северная и Южная Полярные области и их регионы с использованием масок океан/суша НЦДСЛ ([http://nsidc.org/data/polar\\_stereo/tools\\_masks.html](http://nsidc.org/data/polar_stereo/tools_masks.html));
- границы используемых масок расчета отдельных меридиональных секторов, морей, частей морей Северной полярной области и Южного океана представлены на рисунках П1 – П6, не совпадают с используемыми в НЦДСЛ масками для отдельных акваторий Мирового океана и основаны на номенклатуре ААНИИ для морей Евразийского шельфа (Гренландское - Чукотское), Атласе Северного ледовитого океана (1980) и Атласе океанов (1980) издательства ГУНИО МО [1, 2, 3].
- вычислительные особенности расчета – авторское программное обеспечение ААНИИ с сохранением точности расчетов и оценке статистических параметров по гистограмме распределения и свободно-распространяемое программное обеспечение GDAL для векторизации полей климатических параметров;

В графическом формате PNG совмещенные карты ААНИИ-КЛС-НЛЦ доступны по адресу <http://wdc.aari.ru/datasets/d0040>.

Результаты расчетов ледовитости Северной, Южной полярных областей, их отдельных меридиональных секторов, морей и частей морей доступны на сервере МЦД МЛ ААНИИ в каталогах соответственно <http://wdc.aari.ru/datasets/ssmi/data/north/extent/> и <http://wdc.aari.ru/datasets/ssmi/data/south/extent/>.

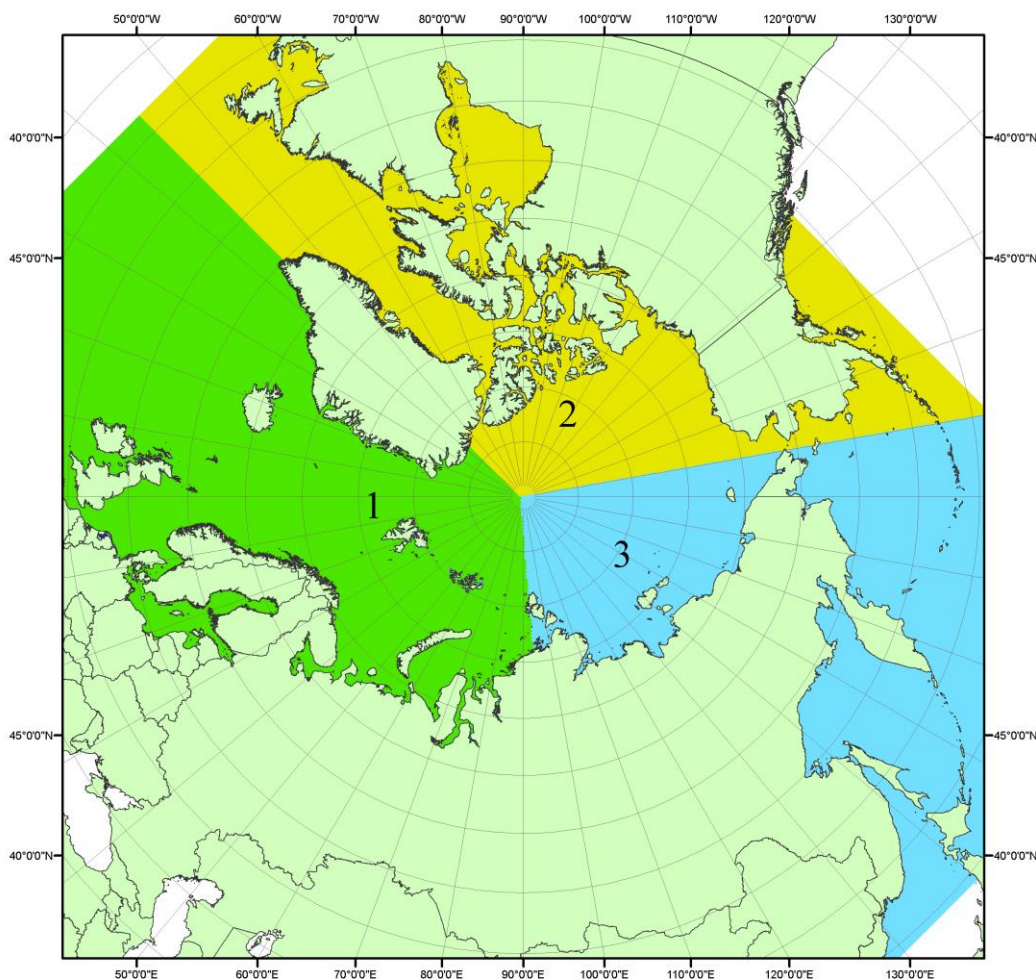


Рисунок П1 – Секторальное деление северной полярной области. 1 - Сектор 45°W-95°E (Гренландское - Карское моря); 2 - Сектор 170°W-45°W (море Бофорта и Канадская Арктика); 3 - Сектор 95°E-170°W (моря Лаптевых - Чукотское, Берингово, Охотское, Японское)

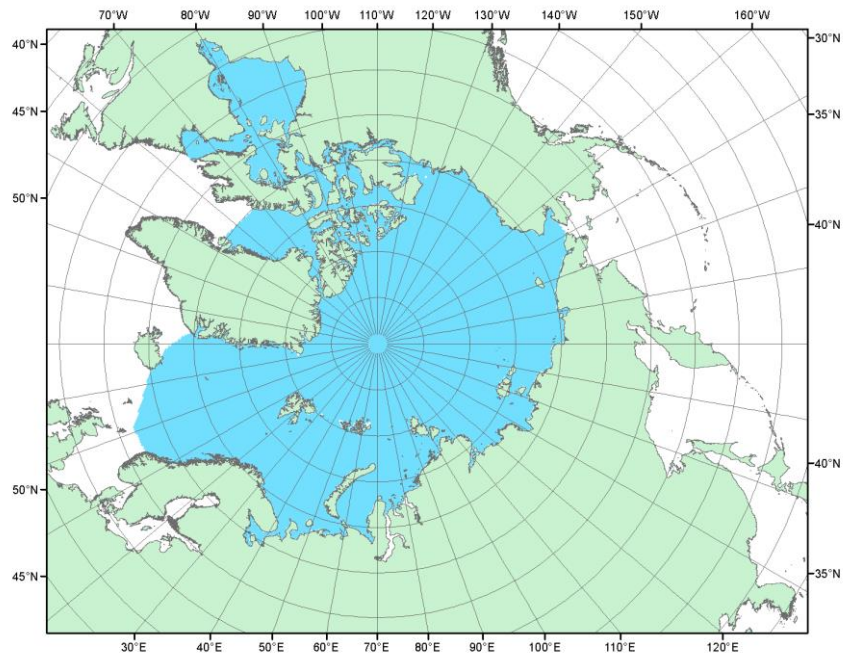


Рисунок П2 – Северный ледовитый океан в официальных границах

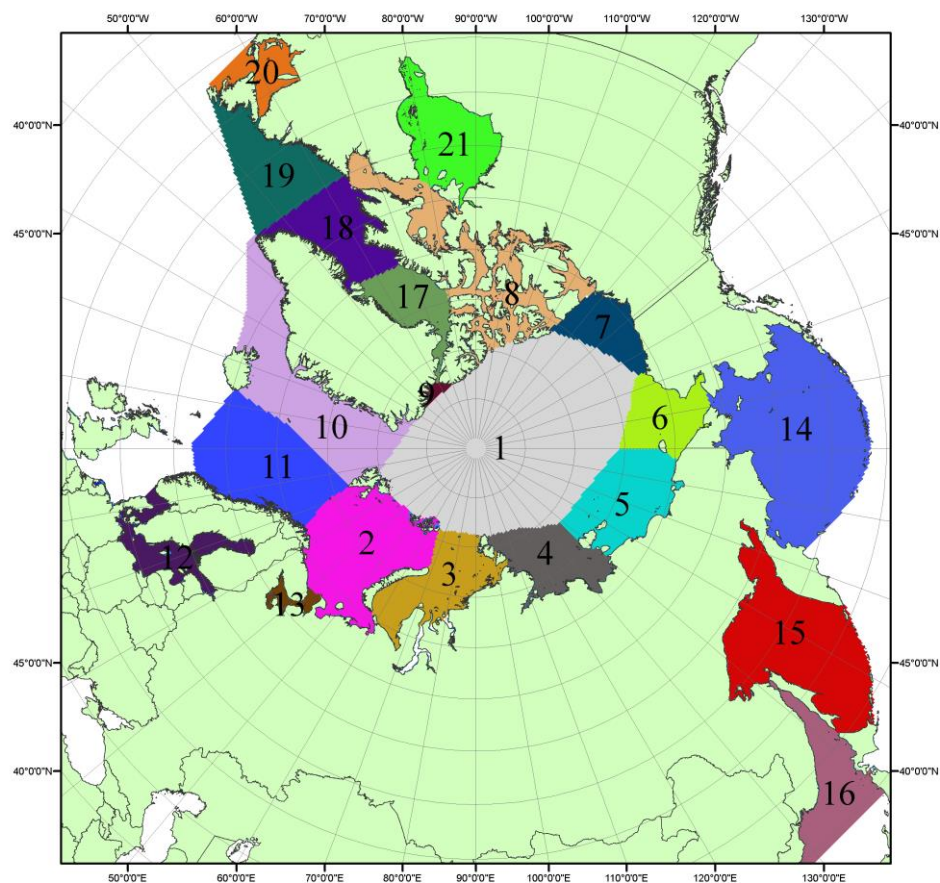


Рисунок П3 – моря северной полярной области. 1 – Арктический бассейн; 2- Баренцево море; 3 – Карское море; 4 – море Лаптевых; 5 - Восточно-Сибирское море; 6 – Чукотское море; 7 – море Бофорта; 8 – Канадский архипелаг; 9 – море Линкольна; 10 – Гренландское море; 11 – Норвежское море; 12 – Балтийское море; 13 – Белое море; 14 – Берингово море; 15 – Охотское море; 16 – Японское море; 17 – море Баффина; 18 – Дейвисов пролив; 19 – море Лабрадор; 20 – залив Святого Лаврентия; 21 – Гудзонов залив.

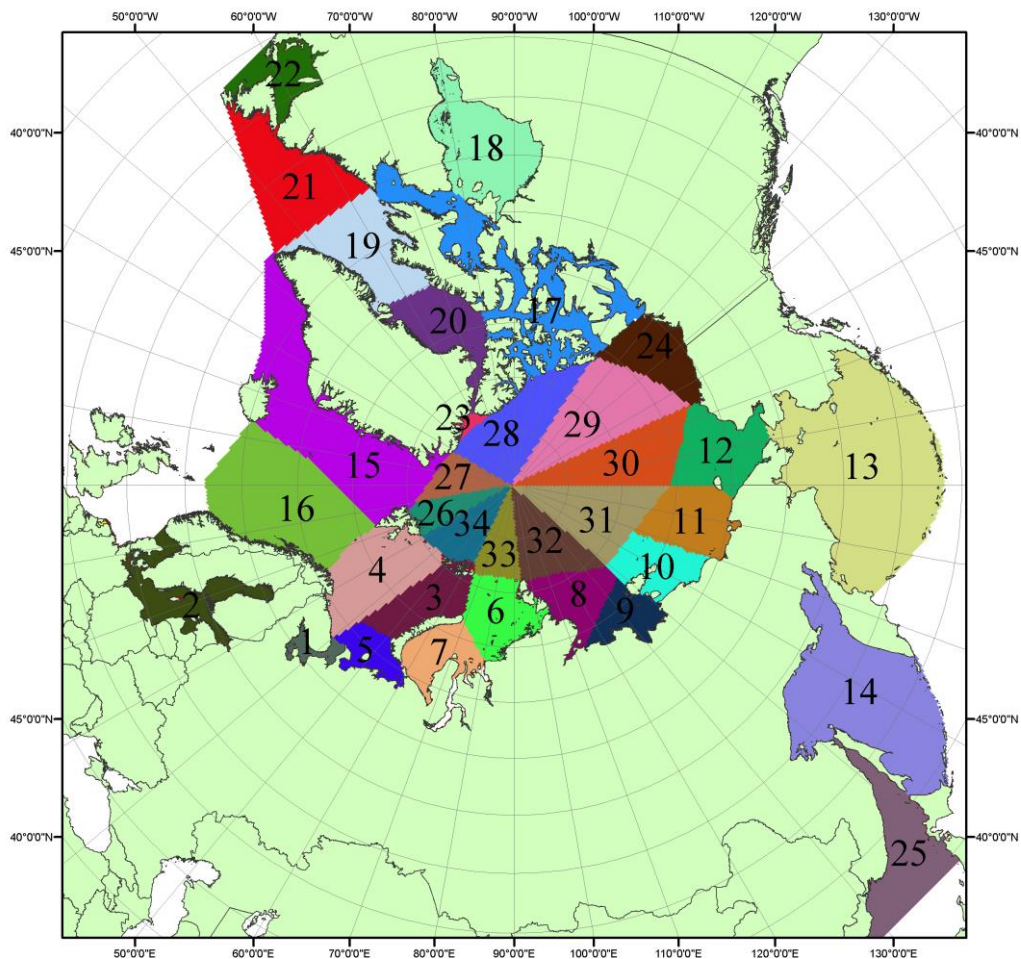


Рисунок П4 – Сектора и моря северной полярной области. 1 - Белое море; 2- Балтийское море; 3 – Баренцево море (СВ); 4 – Баренцево море (З); 5 - Баренцево море (ЮВ); 6 – Карское море (СВ); 7 – Карское море (ЮЗ); 8 – море Лаптевых (В); 9 – море Лаптевых (З); 10 – Восточно-Сибирское море (З); 11 – Восточно-Сибирское море (В); 12 – Чукотское море; 13 – Берингово море; 14 – Охотское море; 15 – Гренландское море; 16 – Норвежское море; 17 – Канадский архипелаг; 18 – Гудзонов залив; 19 – Дейвисов пролив; 20 - море Баффина; 21 – море Лабрадор; 22 - залив Святого Лаврентия; 23 - море Линкольна; 24 - море Бофорта; 25 - Японское море; 26 - сектор АО (30°з.д. – 10°в.д.); 27 – сектор АО (10°в.д. – 30°в.д.); 28 - сектор АО (30°в.д. – 65°в.д.); 29 - сектор АО (65°в.д. – 96°в.д.); 30 - сектор АО (96°в.д. – 140°в.д.); 31 - сектор АО (140°в.д. – 180°в.д.); 32 - сектор АО (180°в.д. – 156°з.д.); 33 - сектор АО (156°з.д. – 123°з.д.); 34 - сектор АО (123°з.д. – 30°з.д.).

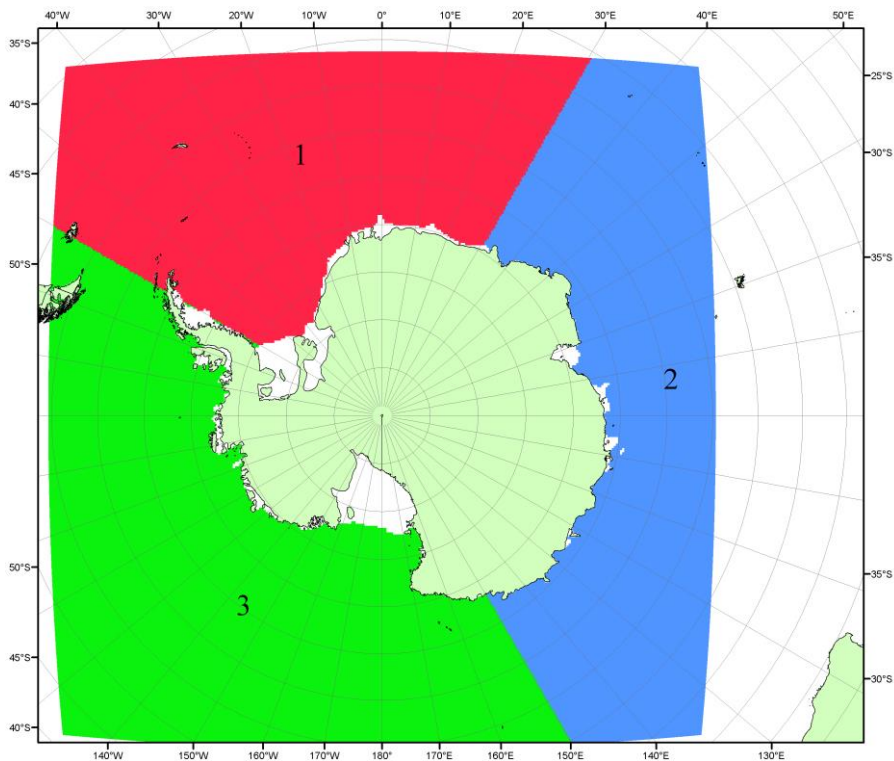


Рисунок П5 – Секторальное деление Южного океана. 1 - Атлантический сектор (60°W-30°E, море Уэдделла); 2 - Индоокеанский сектор (30°E-150°E, моря Космонавтов, Содружества, Моусона); 3 - Тихоокеанский сектор (150°E-60°W, моря Росса, Беллинсгаузена)

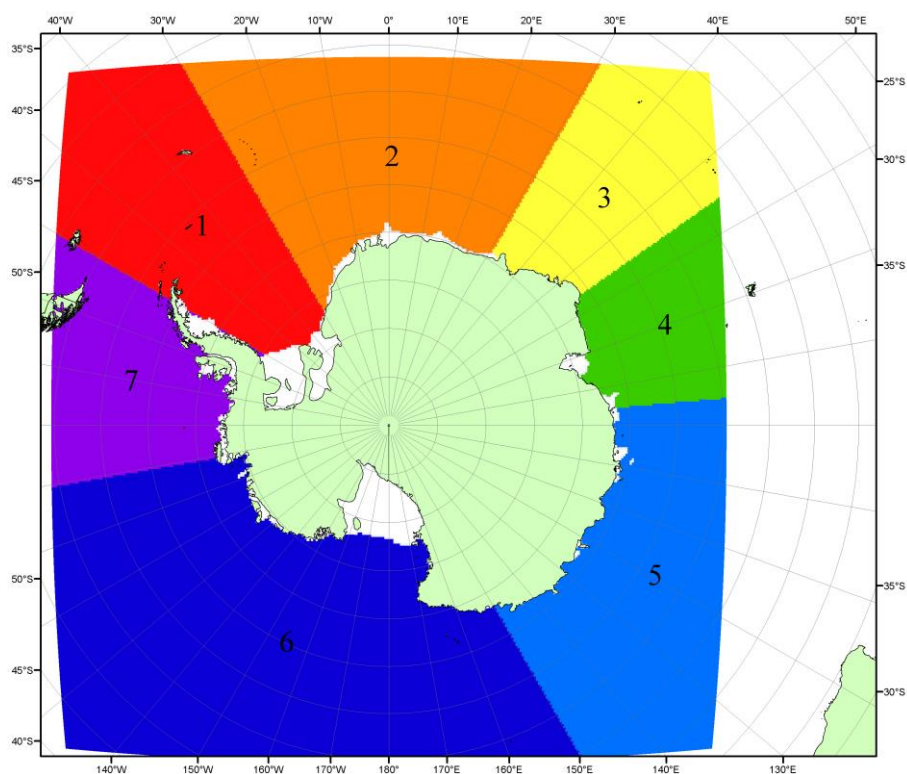


Рисунок П6 – Моря Южного океана. 1 – Западная часть моря Уэдделла; 2- Восточная часть моря Уэдделла; 3 – Море Космонавтов; 4 – море Содружества; 5 – море Моусона; 6 – море Росса; 7 – Море Беллинсгаузена.



## СПИСОК ИСТОЧНИКОВ

1. Атлас океанов. Северный Ледовитый океан. – 1980. М: Изд. ГУНИО МО СССР ВМФ – 184 с.
2. Атлас океанов. Термины. Понятия. Справочные таблицы. - Изд. ВМФ МО СССР.-1980.
3. Границы океанов и морей. – 1960. Л.: Изд. ГУНИО ВМФ. – 51 с.
4. Обзорные ледовые карты ФГБУ «АНИИ» Северного Ледовитого океана за 2008-2018 гг. в обменном формате ВМО СИГРИД-3 // Мировой центр данных по морскому льду - Глобальный банк данных по морскому льду – <http://wdc.aari.ru/datasets/d0015>.
5. Комплексные ледовые карты ФГБУ «АНИИ» Южного океана за 2014-2018 гг. в обменном формате ВМО СИГРИД-3 // Мировой центр данных по морскому льду - Глобальный банк данных по морскому льду – <http://wdc.aari.ru/datasets/d0015>.
6. Комплексные ледовые карты ФГБУ «АНИИ» арктических и замерзающих морей России за 1997-2018 гг. в обменном формате ВМО СИГРИД-3 // Мировой центр данных по морскому льду - Глобальный банк данных по морскому льду – <http://wdc.aari.ru/datasets/d0004>.
7. Карты ФГБУ «АНИИ» анализа крупных айсбергов Южного океана за 2014-2018 гг. в обменном формате ВМО СИГРИД-3 // Мировой центр данных по морскому льду - Глобальный банк данных по морскому льду – <http://wdc.aari.ru/datasets/d0015>.
8. Комплексные ледовые карты ФГБУ «Гидрометцентр России» Азовского, Каспийского и Белого морей за 2000-2017 гг. в обменном формате ВМО СИГРИД-3 // Мировой центр данных по морскому льду - Глобальный банк данных по морскому льду – <http://wdc.aari.ru/datasets/d0033>.
9. Комплексные ледовые карты ФГБУ «НИЦ Планета» Азовского, Каспийского, Берингова, Охотского и Японского морей за 2016-2018 гг. в обменном формате ВМО СИГРИД-3 // Мировой центр данных по морскому льду - Глобальный банк данных по морскому льду – <http://wdc.aari.ru/datasets/d0034>.
10. Комплексные ледовые карты Северной полярной области и Южного океана Национального ледового центра США за 2003-2018 гг. в обменном формате ВМО СИГРИД-3 // Мировой центр данных по морскому льду - Глобальный банк данных по морскому льду – <http://wdc.aari.ru/datasets/d0032>.
11. Карты анализа крупных айсбергов Южного океана Национального ледового центра США за 2014-2018 гг. в обменном формате ВМО СИГРИД-3 // Мировой центр данных по морскому льду - Глобальный банк данных по морскому льду – <http://wdc.aari.ru/datasets/d0032>.
12. Комплексные ледовые карты Канадской Арктики Канадской ледовой службы за 2006-2018 гг. в обменном формате ВМО СИГРИД-3 // Мировой центр данных по морскому льду - Глобальный банк данных по морскому льду – <http://wdc.aari.ru/datasets/d0031>.
13. Cavalieri, D., C. Parkinson, P. Gloersen, and H. J. Zwally. 1996, updated 2008. *Sea Ice Concentrations from Nimbus-7 SMMR and DMSP SSM/I Passive Microwave Data*, [1978.10.26 – 2007.12.31]. Boulder, Colorado USA: National Snow and Ice Data Center. Digital media.
14. Meier, W., F. Fetterer, K. Knowles, M. Savoie, M. J. Brodzik. 2006, updated quarterly. *Sea Ice Concentrations from Nimbus-7 SMMR and DMSP SSM/I Passive Microwave Data*, [2008.01.01 – 2008.03.25]. Boulder, Colorado USA: National Snow and Ice Data Center. Digital media.
15. Maslanik, J., and J. Stroeve. 1999, updated daily. *Near-Real-Time DMSP SSM/I-SSMIS Daily Polar Gridded Sea Ice Concentrations*, [2008.03.26 – present moment]. Boulder, Colorado USA: National Snow and Ice Data Center. Digital media.
16. Andersen, S., R. Tonboe, L. Kaleschke, G. Heygster, and L. T. Pedersen, Intercomparison of passive microwave sea ice concentration retrievals over the high-concentration Arctic sea ice.// *J. Geophys. Res.* – 2007. – Vol. 112. C08004, doi:10.1029/2006JC003543.
17. Статистические характеристики сплоченности морского льда Северной полярной области и Южного океана на основе данных наблюдений SSMR-SSM/I-SSMIS, алгоритм NASATEAM // Мировой центр данных по морскому льду - Глобальный банк данных по морскому льду – <http://wdc.aari.ru/datasets/ssmi>.

18. SIGRID-3: A vector archive format for Sea Ice Georeferenced Information and Data - JCOMM Technical Report Series No. 23, 2014, WMO/TD-No.1214.

19. Ice Chart Colour Code Standard. - JCOMM Technical Report Series No. 24, 2004, WMO/TD-No.1215.

([http://jcomm.info/index.php?option=com\\_oe&task=viewDocumentRecord&docID=4914](http://jcomm.info/index.php?option=com_oe&task=viewDocumentRecord&docID=4914))

20. Danish Meteorological Institute North Atlantic - Arctic Ocean model HYCOM-CICE - <http://ocean.dmi.dk/models/hycom.uk.php>

21. Портал данных ледового анализа Южного океана Норвежского метеорологического института - <http://polarview.met.no/Antarctic.html>

22. Портал полярных данных Датского метеорологического института - <http://polarportal.dk>